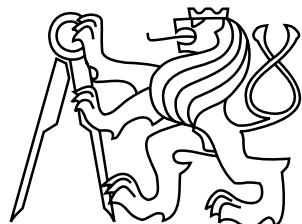


ČESKÉ VYSOKÉ UČENÍ TECHNICKÉ V PRAZE

FAKULTA ELEKTROTECHNICKÁ
KATEDRA ŘÍDICÍ TECHNIKY



DIPLOMOVÁ PRÁCE

Inteligentní regulátor pro klimatizaci

Praha, 2006

Miloš Smetana

Prohlášení

Prohlašuji, že jsem zadanou diplomovou práci vypracoval samostatně s přispěním vedoucího diplomové práce a použil jsem pouze literaturu v práci uvedenou.

Nemám závažný důvod proti užití tohoto školního díla ve smyslu § 60 Zákona č. 121/2000 Sb., o právu autorském, o právech souvisejících s právem autorským a o změně některých zákonů (autorský zákon).

V Praze dne

podpis:

Poděkování

Na tomto místě bych rád poděkoval především vedoucímu práce Doc. Ing. Janu Bílkovi, CSc. za cenné rady při řešení této práce. Dále bych rád poděkoval svým rodičům za podporu při studiu na této škole a všem lidem dobré vůle.

Abstrakt

Práce popisuje chování budov z pohledu vytápění a regulace. Blíže se zaměřuje na regulaci topného systému rodinného domku, na kterém je prováděno měření a pro který je vytvořen matematický model v systému MATLAB–Simulink. Vytvořený model respektuje venkovní vlivy a je koncipován tak, aby jej bylo možné změnou konstant použít pro jinou obdobnou soustavu.

Abstract

This diploma thesis describes behaviour of buildings in the meaning of heating and its control. Much closer look is dedicated to controlling the heating system of a family house on which a measuring is performed and for which the mathematical model in system MATLAB–Simulink is created. The model respects the influences of weather and offers possibility to change it to fit any other similar system by only changing its constants. For this model of a family house temperature controllers, PID controller, fuzzy logic controller and a two-step controller were designed.

Obsah

1	Úvod	1
1.1	Rozdělení budov	1
2	Úvod do problematiky vytápění	4
2.1	Základy termodynamiky	7
2.2	Tepelná vodivost	8
3	Tepelná prostupnost a izolace	10
4	Měřící senzory	12
4.1	Senzory teploty	12
4.1.1	Termoelektrické senzory teploty	12
4.1.2	Radiační pyrometry	13
4.1.3	Inteligentní senzory teploty	14
4.1.4	Termistory	14
4.1.5	Odporové senzory teploty	15
4.2	Snímač průtoku	19
4.3	Senzor pro měření spotřeby elektrické energie	19
4.4	Senzor pro měření rychlosti větru	19
4.5	Senzor slunečního svitu	20
5	Regulace	23
5.1	Spojitá regulace	24
5.2	Nespojitá regulace	26
5.3	Vlečná regulace	27
6	Systémy Teco	29
6.1	Tecomat a Tecoreg	29
6.2	Mosaic	31
7	Měření na rodinném domku	33
7.1	Očekávané výsledky měření	33
7.2	Měření za normálních podmínek	35
7.3	Speciální měření	37
7.4	Vliv polohy místností	38
7.5	Měření ztrát okny a zdmi	39

8 Model	41
8.1 Matematický model prostupu tepla	41
8.2 Model chování místnosti	45
9 Návrh regulátorů	57
9.1 Fuzzy regulátor	57
9.2 PID regulátor	63
9.3 Dvoupolohový regulátor	64
9.4 Shrnutí	66
10 Závěr	67
Literatura	69
A Obsah přiloženého CD	73

Kapitola 1

Úvod

Úkolem této práce je provést měření na obydlém domě a na jeho základě vytvořit matematický model, realizovat model v systému MATLAB–Simulink, popsat v něm chování a vlivy poruch. Budu se zde zabývat diskusí jak topit a regulovat co nejlevněji a minimalizovat ztráty. To znamená, že zde srovnám regulaci vyspělejší metodou s regulací klasickou. Pohovořím o vnějších vlivech, o izolaci a různých možnostech vytápění.

Regulace teploty v budovách předpokládá alespoň částečnou znalost systému (dané budovy nebo místo) a znalost topného systému jako zdroje energie. Podle úrovně znalosti systému bude vypadat i kvalita regulace.

Vliv na způsob realizace regulačního systému má výkon zdroje tepelné energie. Jinak se navrhují regulační systémy pro domácí kotly o výkonu řádově 20 kW a jinak systémy vytápějící celé sídliště o výkonech v řádu megawatů. Důležité je i jaký je tlak topného média, jedná-li se o nízkotlaký systém nebo vysokotlaký. Je potřeba brát i ohled na druh akčního člena (topného tělesa).

1.1 Rozdělení budov

Chceme-li se zabývat regulací teploty nějaké budovy, je potřeba si uvědomit, o jaký druh budovy se jedná. Rozhodující vliv má nejen konstrukce budovy, ale i účel budovy. Jinak bude řešená regulace v obchodním centru a jinak ve školách. Podle účelu je tedy možné rozdělit budovy na

- obytné budovy,
- výrobní budovy,
- administrativní budovy a
- speciální budovy.

Podle konstrukce se mohou budovy dělit na lehké a těžké. Pro těžké konstrukce budov platí nižší vliv venkovní teploty a pomalejsí reakce na změny. U lehkých konstrukcí bude mít venkovní teplota vyšší vliv na regulaci a regulátor bude reagovat rychleji na případné změny, protože se předpokládá horší tepelná izolace, a tedy vyšší ztráty.

(dle rozvrhu), ale budeme-li uvažovat například tělocvičnu, bude se charakter budovy jevit jinak. Předpokládejme, že ráno jdou cvičit nižší ročníky a je potřeba (i když se budou pohybovat), aby měly v místnosti teplo. To znamená, že je třeba začít topit s předstihem. Vyšší ročníky mají zase tělocvik odpoledne a mezi tím v místnosti nikdo není, není potřeba tedy topit, ale jako ráno opět začít s předstihem. Naproti tomu ve třídách se musí topit stále, respektive udržovat teplotu v patřičných mezích.

V hotelech je zpravidla použita regulace s ohledem na komfort zákazníka, který má možnost komfortnost měnit na základě osobní potřeby (obr. 5.7).

Jídelny, nákupní střediska, konferenční sály a kina se vyznačují nutností v zimě topit a v létě klimatizovat. Navíc je potřeba u těchto budov zajistit výměnu vzduchu. Vzhledem k tomuto požadavku se používá tzv. topení klimatizací, tedy teplým vzduchem. Při regulaci je potřeba zohlednit skutečnost, že vzduch vstupující do místnosti se ohřívá ve dvou fázích. V první fázi se předehřeje od odpadního vzduchu, tím se docílí značné energetické, tedy i ekonomické, úspory. V druhé fázi se dokončuje ohřev na žádanou hodnotu.

Kapitola 2

Úvod do problematiky vytápění

Motto: Problém vytápění je starý jako lidstvo samo. Již jeskynní člověk se musel postarat, aby v zimě nezmrzl.

Mezi nejdůležitější kriteria pro topné a regulační systémy patří ekonomická stránka. Dalším předním kritériem je ekologie, která dnes již značně ovlivňuje většinu oborů. Na základě těchto kriterií můžeme vybírat z následujících možných systémů pro topení, vybral jsem nejznámější

- kotle na pevná paliva,
- elektrické kotle,
- plynové kotle,
- přímotopy,
- tepelné čerpadlo a
- solární systémy.

Kotle na pevná paliva

Kotle na pevná paliva jsou v současné době, hlavně z ekologických důvodů, na ústupu. Dochází v nich k nedokonalému spalování, a tím i k úniku nebezpečných splodin do ovzduší. Navíc účinnosti těchto kotlů nebývají tak vysoké jak je zapotřebí. Výjimku tvoří kotle výkonů řádu megawattů na dřevěné štěpky. Zavádění těchto kotlů je dokonce podporováno evropskou unií. Jinak jsou kotle na pevná paliva (ať už se jedná o dřevo, uhlí, mazut i jiné látky) nahrazovány kotly plynovými. Další nevýhodou je nutnost obsluhy, ne vždy je možné plně automatizovat přísun paliva. Při použití v domácnostech je to téměř nemožné. Jedním z druhů kotlů na pevná paliva pro domácnosti, které se dnes ještě instalují, jsou kotle na pelety. Jedná se o piliny a hobliny slisované vysokým tlakem do podoby dřevěné brikety. Nejrozšířenější velikostí pelet je dnes průměr 6, 8 a 9 mm a délka od 5 do 25 mm. Výhřevnost pelet je zhruba stejná jako u dřevěných briket od 17 do 19 MJ/kg.

kde α [$Wm^{-2}K^{-1}$] součinitel přestupu tepla rozhraním.

Hustota tepelného toku q je množství tepla, které projde plošnou jednotkou postavenou kolmo na směr šíření tepla za jednotku času, tedy

$$q = \frac{Q}{St}. \quad (2.11)$$

V našem případě se budeme zajímat o tepelný tok stěnou. Hustota tepelného toku všemi plochami rovnoběžnými s povrchem stěny je za ustáleného stavu stejná. Pro přestup tepla uvnitř místnosti platí

$$q = \alpha(T_1 - T_a). \quad (2.12)$$

Hustota tepelného toku je přímo úměrná tepelnému spádu dle vztahu

$$q = -\lambda \frac{dT}{dn}. \quad (2.13)$$

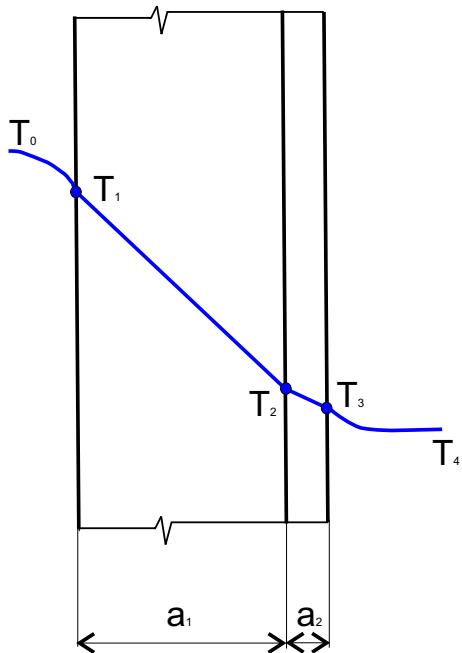
Uvažujeme stěnu dle obrázku 3.1. Pro hustotu tepelného toku bude platit

$$q = \lambda \frac{T_1 - T_2}{a}. \quad (2.14)$$

Kapitola 3

Tepelná prostupnost a izolace

Podle obrázku 3.1 uvažujeme stěnu složenou ze dvou různých vrstev. Pro několik typů respektive tloušťek stěn si zde dopředu, pro pozdější urychlení, spočteme konstanty pro únik tepla zkrz stěny.



Obrázek 3.1: Prostupnost stěnou

Pro přestup tepla uvnitř místnosti platí

$$q = \alpha(T_2 - T_1), \quad (T_2 - T_1) = \frac{q}{\alpha}. \quad (3.1)$$

Teplotní spád je roven rozdílu teplot povrchů stěny dělené tloušťkou stěny

$$\frac{dT}{dn} = \frac{\Delta T}{a}. \quad (3.2)$$

Hustota tepelného toku v první části bude

$$q = \lambda_1 \frac{T_0 - T_1}{a_1}, \quad (T_1 - T_0) = q \frac{a_1}{\lambda_1}. \quad (3.3)$$

Hustota tepelného toku v druhé části stěny bude

$$q = \lambda_2 \frac{T_2 - T_3}{a_2}, \quad (T_3 - T_2) = q \frac{a_2}{\lambda_2}. \quad (3.4)$$

Pro přestup tepla venku platí

$$q = \alpha(T_3 - T_4), \quad (T_3 - T_4) = \frac{q}{\alpha}. \quad (3.5)$$

Sečtením druhých rovnic (3.1), (3.3), (3.4) a (3.5) dostaneme

$$T_0 - T_1 + T_1 - T_2 + T_2 - T_3 + T_3 - T_4 = q \left(\frac{1}{\alpha} + \frac{a_1}{\lambda_1} + \frac{a_2}{\lambda_2} + \frac{1}{\alpha} \right), \quad (3.6)$$

tedy

$$q = (T_0 - T_4) \left(\frac{1}{\alpha_1} + \frac{a_1}{\lambda_1} + \frac{a_2}{\lambda_2} + \frac{1}{\alpha_2} \right)^{-1} = K(T_0 - T_4). \quad (3.7)$$

Konstanta K [$\text{W m}^{-2} \text{K}^{-1}$] vyjadřuje součinitel přestupu tepla stěnou.

Kapitola 4

Měřící senzory

4.1 Senzory teploty

Senzorů pro měření teploty existuje celá řada. Jednotlivé typy se mohou lišit například svými parametry, fyzikálními principy i rozsahy. Nás zajímají elektrické (například odporové, polovodičové, termoelektrické, krystalové atd.).

4.1.1 Termoelektrické senzory teploty

Termoelektrické senzory pracují na principu Seebeckova jevu, tedy převodu tepelné energie na elektrickou. Seebeckův jev je charakteristický vznikem termoelektrického napětí ve spojených vodičích, jejichž konce mají různou teplotu obr. 4.1 vlevo. Termočlánek vznikne rozpojením jednoho konce viz obr. 4.1 vpravo. Napětí na termočlánku je dáné Seebeckovými koeficienty, které závisí na efektivní stavové hustotě a koncentraci nosičů náboje daných materiálů.

Pro elektromotorické napětí E_{AB} a absolutní teploty spojů platí experimentálně zjištěný vztah

$$E_{AB} = (a_A - a_B)(T_2 - T_1) + 0,5(b_A - b_B)(T_2 - T_1)^2, \quad (4.1)$$

kde

E_{AB} - elektromotorické napětí,

a, b - Seebeckovy koeficienty a

T_1, T_2 - teploty.

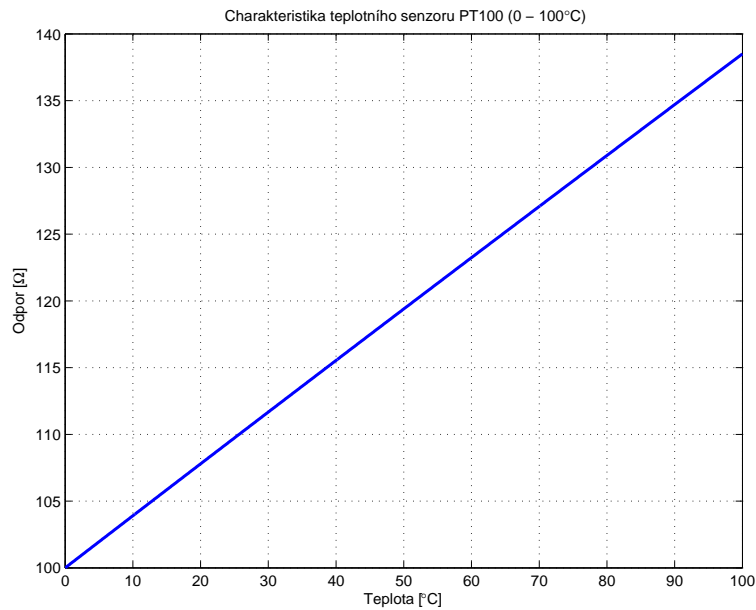
V následující tabulce jsou uvedeny Seebeckovy koeficienty pro nejčastěji používané kovy v termočláncích. Koeficienty a, b jsou závislé na přesném složení materiálu a jeho struktuře. Hodnoty uvedené v tabulce je z tohoto důvodu třeba brát s rezervou.

Termočlánek bývá obvykle vyroben ze dvou tenkých vodičů o průměru 0.1–0.5 mm, které jsou na konci svařené a uložené v keramické dvojkapiláře. Napětí článku se obvykle měří kompenzátorem nebo jiným citlivým přístrojem měřícím stejnosměrný proud.

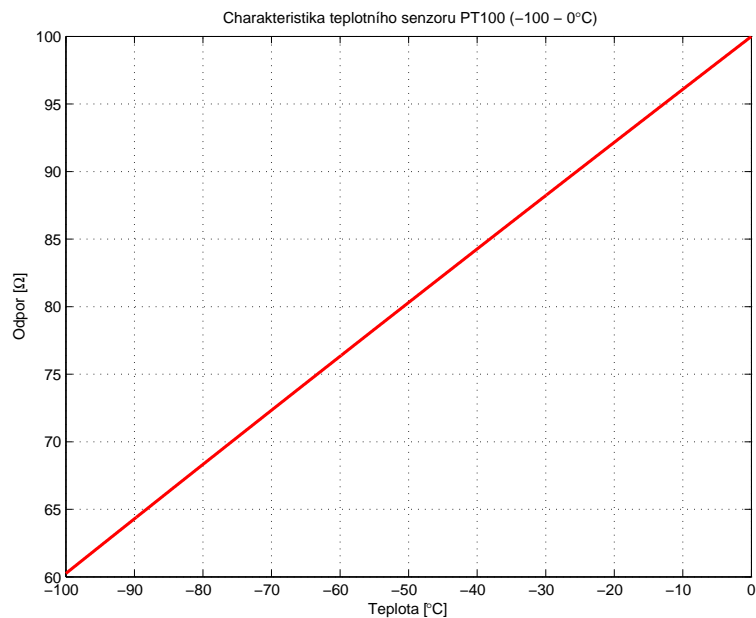
Nevýhodou termočlánků je zejména cena. V našem případě k měření termočlánky nepoužijeme, protože zde není jejich použití především z ekonomického hlediska výhodné.

Přechodová charakteristika

Na obrázcích 4.2 a 4.3 je znázorněna charakteristika senzoru PT100 určená ze vztahu (4.9). Jak je vidět, lze ji v našem rozsahu s minimální odchylkou považovat za lineární. Tato skutečnost měla značnou váhu při volbě senzorů.



Obrázek 4.2: Charakteristika senzoru PT100



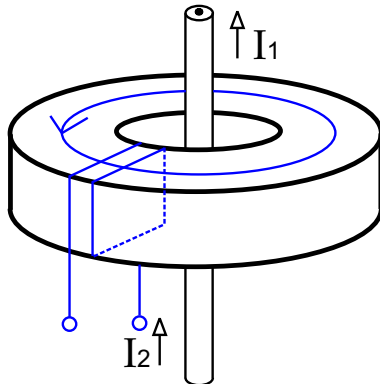
Obrázek 4.3: Charakteristika senzoru PT100

teplotní senzory chráněny před slunečním zářením. Senzory teplot uvnitř budov je také potřeba vhodně umístit. Je nutné, aby byly tepelně odizolovány od stěny na níž jsou namontované. Obvykle se též nemontují na obvodové zdivo. Je důležité, aby byly tyto senzory mimo dosah proudění vzduchu ze zdrojů tepla (nemontují se nad topná tělesa nebo ke dveřím). Vhodnou montáží senzorů je možné předejít často těžko vysvětlitelným chybám regulace v celém systému.

4.2 Snímač průtoku

Snímače průtoku byly nezbytné vzhledem k nutnosti měřit spotřebu teplé a studené vody. S využitím znalosti spotřeby teplé vody je možno snadno určit ze spotřebované energie, kolik energie bylo využito na topení a kolik činí ztráty. K měření průtoků byly použity standartní vodárenské vrtulkové průtokoměry, určené k měření spotřeby vody rodninných domů. Přesnosti a parametry těchto průtokoměrů jsou závislé na druhu proudění. Předpokládáme-li laminární proudění, je přesnost těchto přístrojů dostačující. Jinak je tomu, jedná-li se o proudění turbulentní, kdy tento druh přístroje nelze použít.

4.3 Senzor pro měření spotřeby elektrické energie



Jak je zřejmé z obrázku, pro měření odběru elektrické energie je použit toroidní transformátor proudu. Podobného principu se užívá v klešťových ampermetrech. Spořeba na každé fázi je sledována separátně, z důvodu nerovnoměrného rozložení zátěže. Jsou tedy použity tři stejné transformátory proudu. Toto uspořádání má obrovskou výhodu, protože je možné do programu regulátoru přidat rutinu, která bude hlídat aktuální odběr. V případě potřeby, aby nevypínaly jističe, se potom sníží topný výkon, než na dané fázi klesne odběr.

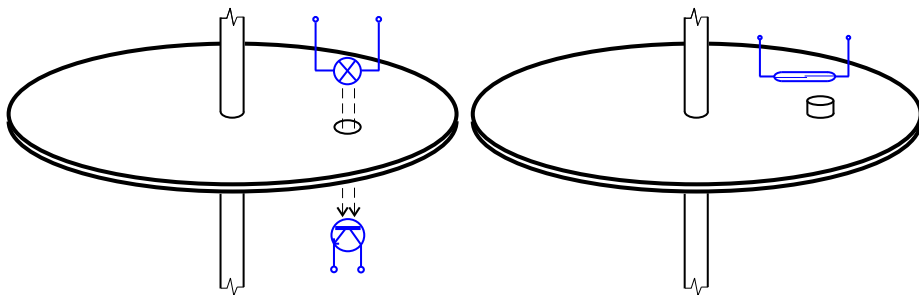
Pro přepočet je využit jednoduchý vzorec (4.10), kde k je převodní konstanta transformátoru proudu (v našem případě počet závitů na toroidu), U napětí (považujeme za konstantní 230 V). Počet závitů byl zvolen tak, aby se výstupní proud dobře měřil, aby se vešel do rozsahu 0 – 20 mA. Zlomky ve výrazu slouží k převodu ze základních jednotek. Výsledkem je spotřeba elektrické energie v kWh.

$$A = \frac{1}{1000} \frac{1}{3600} k U \int_T i(t) dt \quad (4.10)$$

4.4 Senzor pro měření rychlosti větru

Jako senzoru pro měření rychlosti větru jsem použil svépomocí zhotovený "větrník", podobný jako se používá v meteorologických stanicích. Je založen na principu snímání otáček a je kalibrován empiricky. Pro naše účely a s ohledem na jednoduchost jsem místo klasické optické závory obr. 4.5, volil stejný princip jako se používá u tachometru na jízdním kole,

tedy jazýčkový kontakt ve skle a magnet, jak je vidět na též obrázku. V praxi se tato metoda měření neosvědčila, především se vyskytovaly problémy s cejchováním a vhodnou interpretací v modelu systému. Z tohoto důvodu, stejně jako u měření vlivu slunečního záření, jsem přistoupil, jak je uvedeno u příslušného modelu, k meření důsledků těchto efektů. Jedná se o významné zjednodušení, aniž by došlo ke vzniku významných chyb. Další výhodou tohoto přístupu je úspora finančních prostředků za senzory a též úspora vstupů řídícího systému.



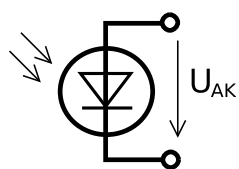
Obrázek 4.5: Běžné principy snímání otáček

4.5 Senzor slunečního svitu

Pro měření intenzity slunečního svitu lze použít buďto různé svépomocí zhotovené ”náhražky” nebo specializované senzory. Senzory specializované pro tento druh měření jsou pro naše účely neúměrně drahé. V našem případě nám jde o vliv slunečního záření, nikoliv o velikost jeho intenzity. Je tedy možné použít fotosoučástky, například fotorezistor, fotodiodu nebo fototranzistor.

Činnost součástek řízených zářením je založena na fotoelektrickém jevu. Při dopadu záření určité vlnové délky λ dochází ke vzniku volných nosičů náboje elektron-díra. V látce bez přechodu PN dojde v důsledku toho ke zvětšení vodivosti. Dopadá-li záření do oblasti přechodu PN, objevuje se mezi částí P a N tzv. hradlové napětí (rádově desetiny voltu).

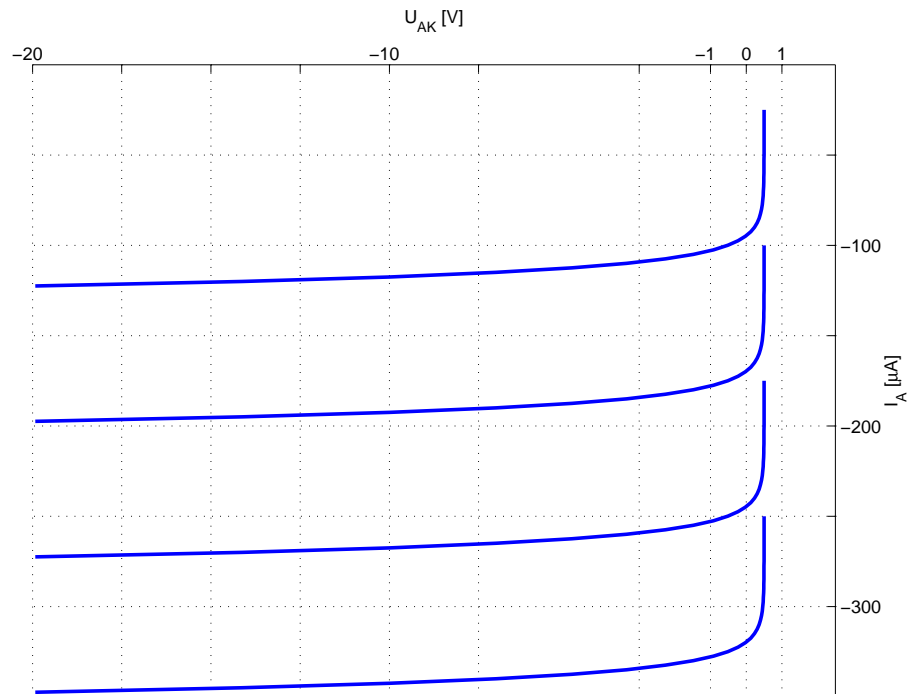
Fotodioda



Fotodioda je plošná polovodičová dioda upravená tak, aby do oblasti přechodu PN pronikalo světlo. Není-li přechod osvětlen, má voltampérová charakteristika fotodiody stejný průběh, jako má charakteristika běžné plošné diody. Největší rozdíl mezi osvětleným a neosvětleným stavem pozorujeme při polarizaci diody v závěrném směru ($U_{AK} < 0$; 3. kvadrant), kdy dochází k téměř lineárnímu růstu proudu I_A při rovnoměrném zvětšování osvětlení. Dioda se v těchto podmínkách chová jako pasivní součástka, jejíž odporník je závislý na osvětlení (odporový režim činnosti diody).

Část charakteristik probíhajících 4. kvadrantem odpovídá hradlovému režimu činnosti fototodiody. Zde se součástka chová jako zdroj elektrické energie. Na anodě má kladné napětí několik desetin voltu. proud závisí na osvětlení lineárně, kdežto napětí přibližně

logaritmicky. Proto, chceme-li využít hradlové činnosti diody k měření osvětlení, užijeme zapojení v hradlovém režimu. Snažíme se o to, aby dioda pracovala nakrátko. Proto musí být odpor mikroampérmetru co nejmenší. Pak je stupnice lineární. V propustné oblasti charakteristik (1. kvadrant) se vliv osvětlení projevuje minimálně. Fotodioda reaguje na změny osvětlení velmi rychle (rádově sekundy).

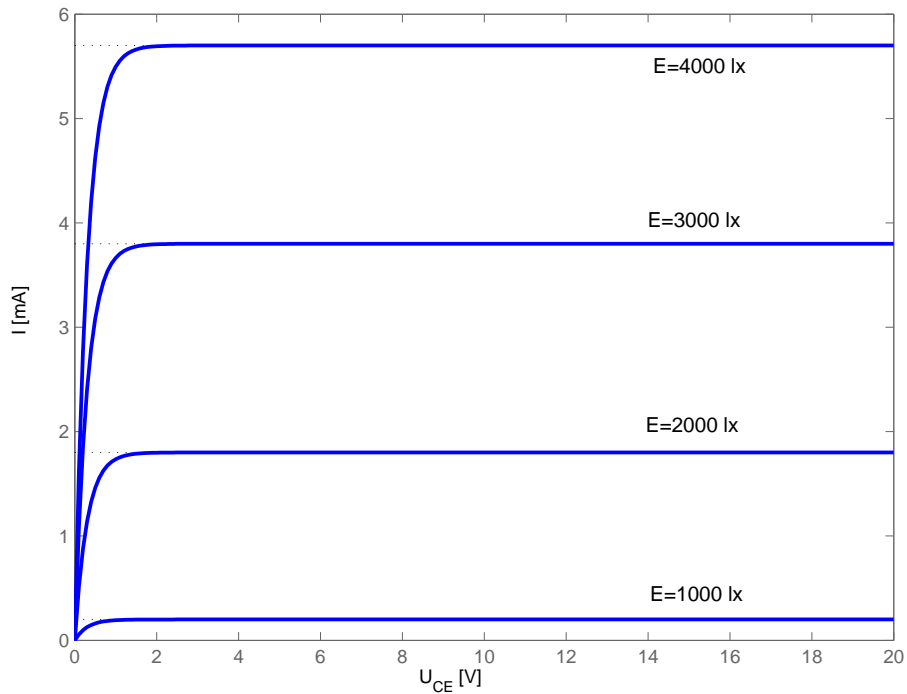


Obrázek 4.6: Voltampérová charakteristika fotodiody

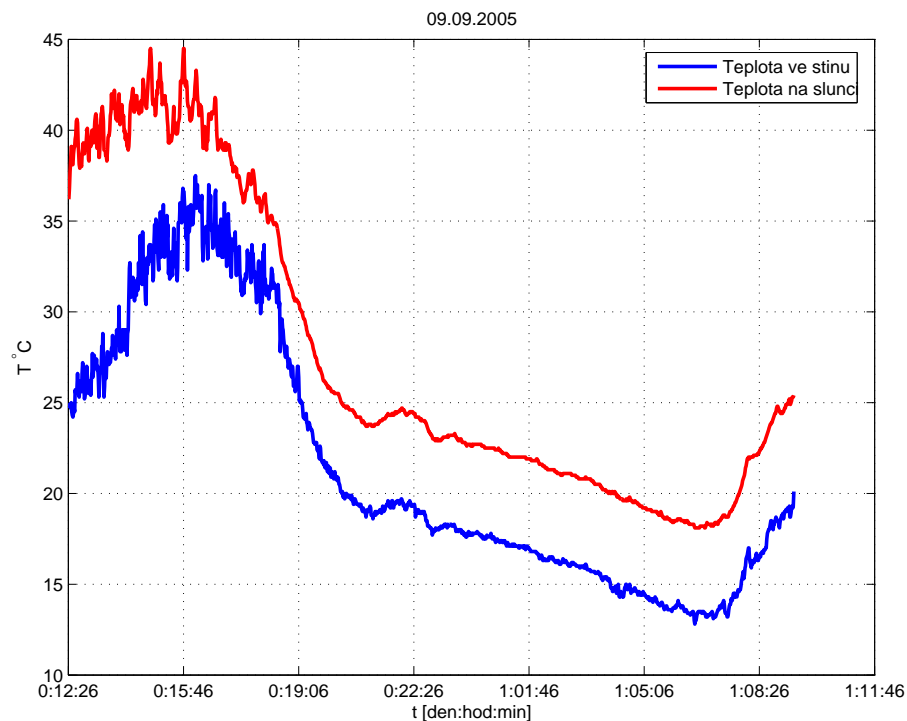
Fototranzistor

Místo vstupního proudu přiváděného do báze běžných bipolárních tranzistorů se k řízení kolektorového proudu u fototranzistorů využívá světelné energie. Světlo proniká do oblasti přechodu báze-emitor okénkem v pouzdru uzavřeným skleněnou čočkou. Charakteristika fototranzistoru je tedy stejná jako charakteristika běžného bipolárního tranzistoru. Liší se pouze tím, že parametrem není proud báze, ale intenzita osvětlení PN přechodu. Na obrázku 4.7 jsem znázornil pro ilustraci charakteristiku fototranzistoru TESLA KP101.

Další možností je použití solárního elektrického článku (např. ze staré kalkulačky). Stejně jako u fotosoučástek, vzniká problém s cejchováním. Jinou možností nepřímého měření vlivu slunce je měření teploty ve stínu a teploty na slunci. Z jejich rozdílu pak lze určit vliv slunečního záření. Na obrázku 4.8 je vidět značný rozdíl teplot. Místy rozdíl dosahuje až 10°C . Tento rozdíl bude záviset na materiálu obalu senzoru, který je vystaven slunečnímu záření, a také jeho velikosti a možnosti chlazení.



Obrázek 4.7: Voltampérová charakteristika fototranzistoru



Obrázek 4.8: Venkovní teploty ve stínu a na slunci

Kapitola 5

Regulace

V této kapitole navrheme regulátory pro regulaci teplot v místnostech. Zmíníme se o dvou způsobech takové regulace. První je způsob tzv. regulace podle jedné místnosti. Druhým způsobem rozumíme regulaci každé místnosti zvlášť.

V případě regulace podle jedné místnosti (referenční, obvykle nechladnější) se reguluje teplota tak, aby i v zde byla přijatelná teplota. Tento způsob je poněkud zastaralý a těžkopádný. Jeho výhodou jsou nižší pořizovací náklady. Senzory teploty nejsou v každé místnosti. Nejsou třeba akční členy pro otevírání a zavírání ventilů na radiátorech. Nevýhodou jsou například náklady za spotřebovanou energii. Tento způsob regulace totiž neumožňuje automaticky vyjmout nepotřebné místnosti z topného programu. Tato manipulace se musí provést ručně, například otočením kohoutku na radiátoru. Je to nepohodlný způsob. Omezuje možnosti časových programů. V týdnu, v pracovní době, stačí dětský pokoj a např. jedna přidružená místnost, ostatní místnosti jsou vytápeny samozřejmě také z důvodu snížení ztrát, ale pod normální požadovanou teplotu.

Druhý způsob znamená regulaci každé místnosti zvlášť. Tímto způsobem regulace se budeme podrobněji zabývat.

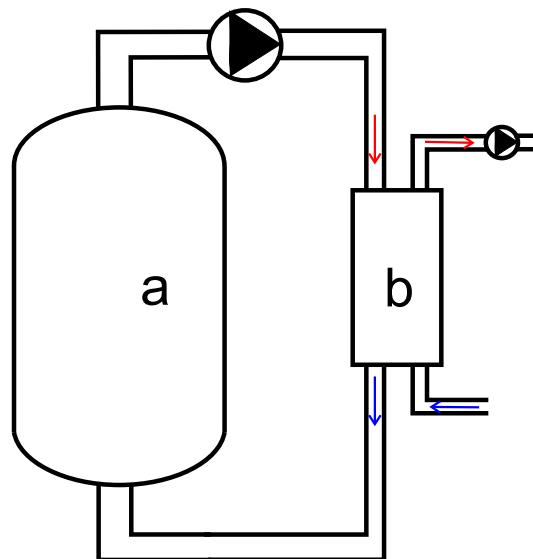
Každá místnost má tedy svůj senzor teploty, svůj akční člen a svoji žádanou hodnotu. Realizace je poněkud náročnější než u předchozí varianty. Řídicí systém musí mít více vstupů a výstupů, to bývá drahé. Docílíme tím však naprosté nezávislosti jednotlivých místností. Každá místnost tak může mít svůj vlastní časový program. Tím, že řídíme ventily u jednotlivých topných těles, můžeme usnadnit řízení hlavního kotla. Topíme-li současně na ohřev vody (TUV) a současně jen jedné místnosti, byla by škoda energii pouštět i tam, kde není potřeba.

Pro zajištění teplé vody, pokud používáme deskový výměník, je nutné, aby kotel byl předem vytopen na určitou teplotu. Pokud používáme pro ohřev vody elektrický boiler, tento problém odpadá a ohřev TUV se řeší separátně.

Protože naneštěstí nikdy nevíme přesně, kdy budeme potřebovat teplou vodu, je dobré buďto ji mít předehřátou v boileru nebo např. mít natopený elektrokotel a při požadavku (diferenční tlakový spínač) zapnout topné spirály a čerpadlo do deskového výměníku (obr. 5.1). V tomto případě je potřeba odpouštět studenou vodu (množství je dáno objemem potrubí od výměníku k baterii).

Pokud je budova vybavena nádrží na užitkovou vodu, jejíž ohřev se zajišťuje topnou vodou z hlavního kotla, je potřeba podle toho postupovat při realizaci regulačního

systému. Například pokud je budova, v našem případě rodinný domek, vytopena a oběví se požadavek na TUV, vyplatí se odpojit na krátkou dobu zátěž (topná tělesa v místnostech) a dodávat plný výkon na ohřev zásobníku vody. Teplota v místnostech mezičím poklesne jen o malou míru, protože se předpokládá odběr jen určitého množství vody (například na koupel). Na druhou stranu, není-li budova vytopena, nepředpokládá se velká spotřeba vody (těžko se půjdeme koupat je-li v domě zima). Další výhodou takto distribuované regulace je i možnost prioritace jednotlivých místností. V blízké budoucnosti bude mít každý člověk v těle implantován unikátní identifikační čip a bude jej možno na nějakou minimální vzdálenost rádiově přečíst. Osoba již vlastním vstupem do budovy aktivuje svůj program na topení. Je-li v domě, bude řídící systém vědět, které místnosti pravidelně obývá, i kde se pohybuje a které žádané hodnoty upřednostňuje.



Obrázek 5.1: Ohřev TUV deskovým výměníkem

Na obrázku 5.1 je písmenem *a* označen kotel (ať už elektrický nebo jiný), který ohřívá topnou vodu, jež je vedena do primárního okruhu deskového výměníku (označen písmenem *b*). Do sekundárního okruhu se přivádí užitková voda pro ohřev.

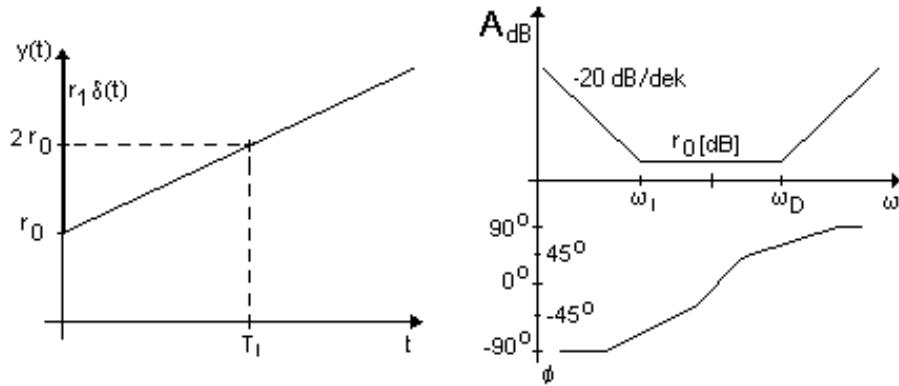
Základní druhy regulace jsou

- spojitá,
- nespojitá,
- regulace podle časového programu a
- vlečná regulace.

5.1 Spojitá regulace

Při spojité regulaci pracují všechny členy regulačního obvodu spojitě a výstupy jsou spojité funkce.

pravda. Velké zesílení způsobuje rozkmitávání systému. Volba velikosti integrační a derivační složky je kompromisem mezi rychlostí regulátoru a velikostí překmitu přechodové charakteristiky uzavřené smyčky.

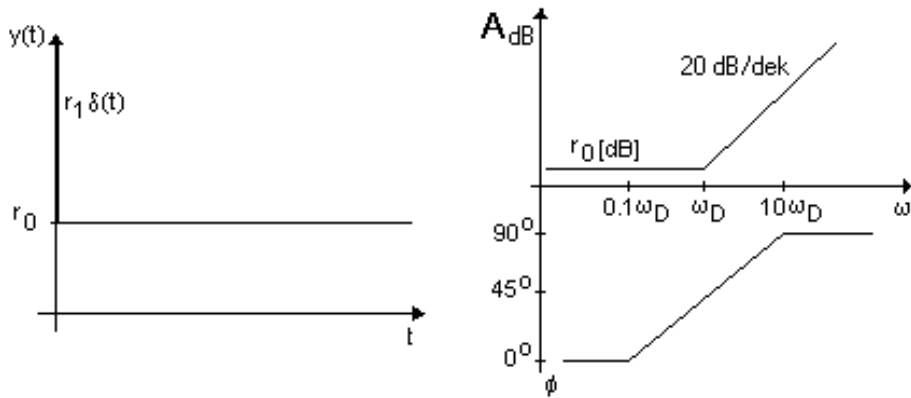


Obrázek 5.3: Přechodová a frekvenční charakteristika PID regulátoru

Regulátor typu **PD** zde záměrně uvádím na posledním místě, protože jeho použití v systémech, o kterých je řeč, není žádoucí. Tyto systémy mají velké časové konstanty, tedy pomalé změny. Jeho přenos je

$$R(s) = r_0 + r_1 s = r_0 \left(\frac{r_1}{r_0} s + 1 \right) = r_0 (T_D s + 1), \quad (5.4)$$

kde T_D je derivační časová konstanta. Derivační složka je úměrná změně regulační odchylky a působí proti ní. Vysoké hodnoty derivační konstanty mohou způsobit přílišnou citlivost na šum, což je vidět z frekvenční charakteristiky (obr. 5.4).

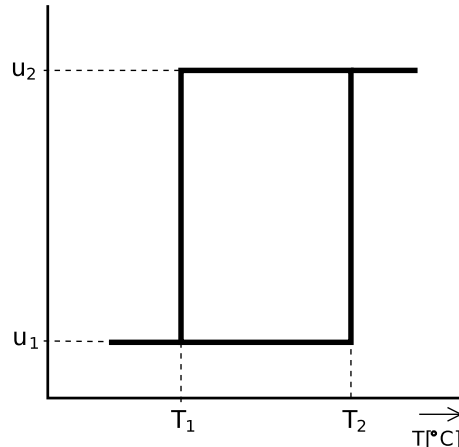


Obrázek 5.4: Přechodová a frekvenční charakteristika PD regulátoru

5.2 Nespojitá regulace

Pro regulaci topných systémů je tento druh regulace dosti rozšířený. Nejčastěji se používá dvoupolohových regulátorů s hysterezí (obr. 5.5). Žádaná teplota obvykle leží v intervalu

T_1 a T_2 . Hodnoty akční veličiny u_2 a u_1 obvykle znamenají zapnuto – vypnuto (1 – 0). Ke změně stavu akční veličiny dojde teprve při dosažení meze T_1 nebo T_2 . Princip regulace je značně jednoduchý a snadno realizovatelný. To vede k nízkým nákladům a hojnému používání.



Obrázek 5.5: Charakteristika dvoupolohového regulátoru s hysterezí

Tyto regulátory bývají realizovány v podobě pokojových termostatů elektronicky nebo i programově v řídicím automatu. Ve většině aplikací v tepelných systémech dosahují dobré kvality regulace.

5.3 Vlečná regulace

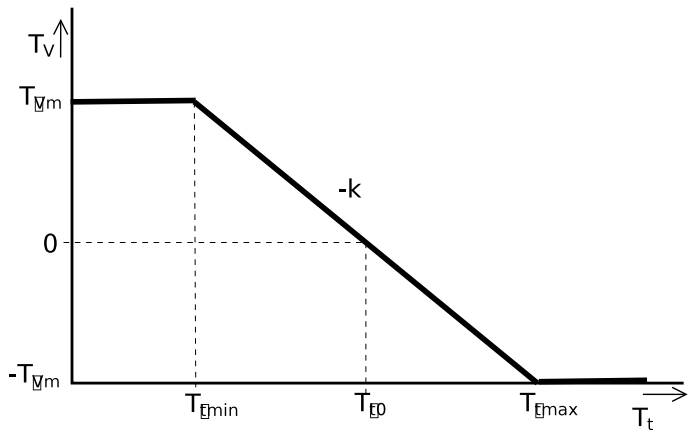
Tento druh regulace je také velmi rozšířený. Jedná se o regulaci teploty topného média (v našem případě vody) vzhledem k určité vztažné veličině, kterou může být například teplota nejchladnější místočinnosti nebo venkovní teplota. Pokud je vztažnou teplotou venkovní teplota, jedná se o ekvitermní regulaci.

Ekvitermní regulace

Ekvitermní regulace je charakteristická ekvitermní křivkou nebo též tzv. Z-charakteristikou. Jednu takovou charakteristiku, ve zjednodušeném tvaru, můžeme vidět na obrázku 5.6. Ekvitermní křivka je daná a pro každou určitou lokalitu charakteristická.

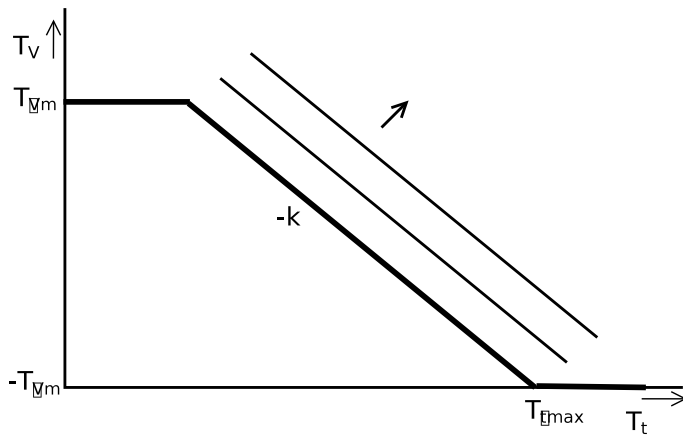
Na vodorovné ose v obrázku 5.6 je vynesena teplota topného média (pro jednoduchost uvažujme vodu), na svislé ose je venkovní teplota. Teplota $T_{t\min}$ je minimální teplota topného média a $T_{t\max}$ je maximální teplota. Hodnoty teplot t_{V_m} udávají interval venkovní teploty kdy topit. Číslo k je směrnice a udává poměr teploty topného média ku venkovní teplotě. Tedy klesne-li venkovní teplota o 1°C , musí se teplota topného média zvýšit o $k^\circ\text{C}$, aby byla zachována požadovaná hodnota teploty. Hodnota k je charakteristická pro každou budovu. Závisí na druhu konstrukce budovy i umístění budovy.

Na obrázku 5.7 je modifikace předchozího obrázku, znázorňující změnu Z-charakteristiky pro vyšší komfort. Směrnice zůstává stejná, protože je, jak již bylo řečeno, daná



Obrázek 5.6: Ekvitermní křivka

budovou, ale celá charakteristika se posouvá. S vyším komfortem se posune výš. To znamená, že též venkovní teplotě odpovídá vyšší teplota topného média.



Obrázek 5.7: Změna komfortu posunem ekvitermní křivky

Prediktivní regulace

Regulátory tohoto typu mají v paměti uložena data několika dnů zpět, podle kterých regulují. Jedná se vlastně o určení tendenze chování venkovní teploty. Podle uloženého vzorku regulátor s předstihem nastaví odpovídající hodnotu. Tento regulátor obvykle dosahuje dobrých výsledků, ovšem za předpokladu plynulé a pozvolné změny venkovní teploty. Při skocích venkovní teploty vykazuje značné chyby.

Kapitola 6

Systémy Teco

6.1 Tecomat a Tecoreg

Systémy TECOMAT a TECOREG vyrábí česká firma Teco, a. s. se sídlem v Kolíně. Produkty firmy Teco jsou vysoce modulární a cenově příznivé. Modularita umožnuje zkombinovat vstupní, výstupní i řídící moduly přímo pro danou soustavu a sestavit tak automat přesně podle potřeby. Výrobky firmy Teco, a. s. patří do světově uznávané kategorie programovatelných automatů (podle IEC 1131) a používají se v celém světě, což značí vysokou kvalitu. Navíc má firma Teco vlastní vývojovou a výrobní základnu a zastoupení i v zahraničí (Slovensko, Polsko, Německo a Rusko).

Systémy Tecomat jsou programovatelné automaty určené pro řízení strojních technologií, výrobních linek, dopravních systémů nebo pro regulaci rozsáhlých tepelných systémů. Systémy Tecoreg jsou programovatelné regulátory určené pro lokální regulaci i distribuované řízení menších a středních tepelných systémů a budov. Mimo Tecomatu a Tecoregu nabízí firma Teco i systémy TECOMAX, které jsou určeny ke sledování a regulaci odběru elektrické energie.

Tecomat a Tecoreg jsou PLC (Program Logic Controller) automaty použitelné k řízení strojů i průmyslových procesů. Automat je s řízenou soustavou spojen přes analogové a digitální vstupy/výstupy. Jejich prostřednictvím získává informace o řízené soustavě nebo ji řídí. Algoritmy řízení jsou uloženy v uživatelské paměti automatu. Mimo instrukcí zapsaných v uživatelské paměti provádí základní jednotka ještě režijní operace, a to při každém cyklu PLC (obr. 6.1).

Během části cyklu čtení (obr. 6.1 – čtení vstupů do paměti PLC) se načítají vstupní proměnné, to zamezuje možnosti vzniku hazardních stavů, protože při běhu uživatelského programu nemůže dojít k jejich změně. Hodnoty načtené ze vstupů se ukládají do vstupní části zápisníkové paměti PLC (viz tabulka 6.1).

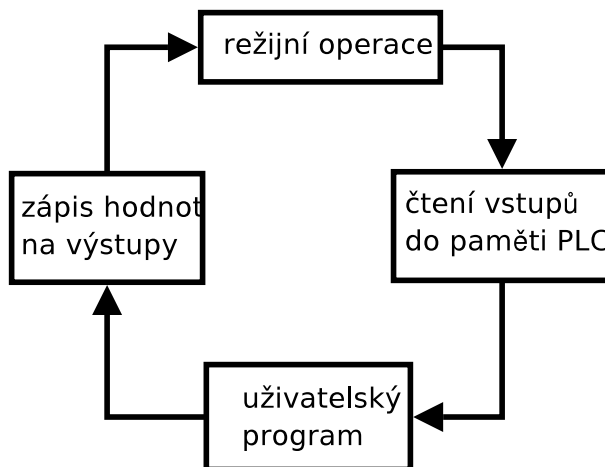
V další části cyklu se instrukci po instrukci provádí vlastní uživatelský program. Systémová jednotka čte z uživatelské paměti postupně instrukce a vykonává je. Hodnoty ze vstupů se v této části cyklu již nenačítají, používají se vstupní hodnoty ze zápisníkové paměti načtené v předchozí části cyklu. Veškeré hodnoty určené pro výstup se zapisují do výstupní části zápisníkové paměti.

Po skončení uživatelského programu následuje třetí část cyklu, tou je aktualizace výstupních proměnných (obr. 6.1 – zápis hodnot na výstupy). V této části se z ob-

X - oblast vstupů	$X_0 \dots X_{127}$
Y - oblast výstupů	$Y_0 \dots Y_{127}$
S - systémová oblast	$S_0 \dots S_{63}$
R - uživatelská oblast	$R_0 \dots R_{8191}$

Tabulka 6.1: Struktura zásobníkové paměti s rozsahy

lasti výstupu zápisníkové paměti zapíší hodnoty vypočtené za běhu programu na fyzické výstupy automatu. Bezchybnou činnost hlídá operační systém automatu, který provádí



Obrázek 6.1: Programový cyklus PLC

režijní operace pro přípravu na další cyklus. Obsahuje také tzv. watchdog, jenž hlídá čas průchodu jednoho cyklu, a tím provádí detekci nekonečných smyček v programu. Oblast vstupů zápisníkové paměti, jak bylo již popsáno, obsahuje načtené obrazy vstupů. Stejně tak oblast výstupů obsahuje obrazy hodnot výstupních signálů. V systémové oblasti zásobníkové paměti se nacházejí systémové registry automatu (přehled systémových registrů viz [11, 12]). Uživatelská oblast slouží k tomu, aby si programátor mohl vytvořit pomocné proměnné.

Automat se může nacházet ve dvou základních režimech. Jsou to režim RUN a HALT. V režimu RUN se provádí načítání hodnot ze vstupních jednotek, uživatelský program a zápis vypočtených hodnot do výstupních jednotek. HALT režim je určen především k programování automatu. Program se v tomto režimu nevykonává a automat nekomunikuje s řízenou soustavou. Z toho důvodu se při závažné chybě než automat přejde do režimu HALT provede systémová jednotka ošetření chyby z hlediska bezpečnosti řízení. To je velmi důležité, neboť by mohlo dojít k nedozírným škodám.

Komunikace

Automat je schopen komunikovat s PC, ale i s jiným automatem. Počítač může být použit k monitorování řízeného procesu a být umístěn třeba ve vzdáleném velínu. Ke komunikaci s PC slouží sériové rozhraní RS-232 nebo USB. Pro zadání uživatelského programu se používá RS-232 a pro nahrání, nebo úpravu operačního systému automatu je základní jednotka vybavena zmíněným rozhraním USB. Automaty disponují také rozhraním *Ethernet*, které umožňuje současně provozovat až čtyři logická spojení. Přes rozhraní Ethernet je možné připojit automat k Internetu a ovládat jej i na velmi velkou vzdálenost (např. vizualizace). Pro komunikaci s ostatními automaty jsou podporovány i rozhraní RS-485 nebo průmyslové sběrnice MODBUS, PROFIBUS, CANopen.

Celý systém Tecomat může komunikovat také prostřednictvím modulu GSM, radio-modemu, optomoduemu nebo telefonního modemu. Může být tedy umístěn decentralizovaně tak, že výkonné části jsou přímo u řízené technologie a řídící jednotka může být i velmi daleko. Při takto realizovaném systému jsou jeho části mnohdy schopny pracovat autonomně i při výpadku centra. Navíc lze tento systém snadno modifikovat, doplňovat a kontrolovat.

6.2 Mosaic

Vývojové prostředí MOSAIC bylo vytvořeno k uživatelsky pohodlnému vývoji programů pro automaty od společnosti TECO. Pracuje pod operačními systémy Windows. Obsahuje simulátor s možností online i offline ladění.

Součástí programovacího prostředí je i konfigurační nástroj, který je potřeba již při samém počátku vývoje programu. S jeho pomocí naefinujeme buďto typ kompaktního automatu, nebo moduly a jejich adresy automatu rozšířitelného, které jsou připojeny.

Konfiguraci systému můžeme provést ručně nebo u novějších automatů automaticky. Ruční konfiguraci provádíme pokud nemáme dané moduly při vývoji programu k dispozici, ale chceme je v projektu použít. Tedy když nemáme možnost testovat program na fyzickém zařízení a používáme simulátor.

Automatickou konfiguraci provedeme, jsme-li připojeni k fyzickému automatu a jsme-li schopni s ním komunikovat. Konfigurační nástroj načte údaje z centrální jednotky a vygeneruje seznam nalezených modulů. Takto získanou konfiguraci je možné ručně kdykoliv pozměnit.

Program Mosaic využívá k programování PLC automatu jazyk instrukcí, které jsou součástí instrukčního souboru automatu Teco. Vlastní překlad programu se provádí překladačem xPRO. Symbolická jména proměnných nesmí začínat číslem nebo písmenem s diakritikou a nesmí být totožné s vyhrazenými symboly překladače. Malá a velká písmena se nerozlišují, překladač všechna převádí na velká. Komentář je uvozen středníkem a vše za ním až do konce řádky překladač ignoruje.

Mezi nejpoužívanější instrukce instrukčního souboru automatu patří:

- instrukce pro čtení a zápis
- instrukce logických operací
- aritmetické instrukce

- skoky
- instrukce PID

Máme také možnost naprogramovat si své vlastní instrukce. K tomu je potřeba ovládat jazyk C. Při použití vlastních instrukcí je důležité dbát na to, aby nebyly používány na procesoru, pro který nebyly napsány.

Instrukční soubor základní jednotky obsahuje mnoho dalších instrukcí, viz [11, 12].

Kromě instrukcí můžeme využívat pomocné grafické nástroje a různá zjednodušení dostupná ve formě softwarových modulů. Tyto moduly je možné snadno přidat do prostředí Mosaic. Programy v prostředí Mosaic lze psát přímo zápisem instrukcí. Máme-li nainstalovaný příslušný modul, můžeme přepnout prostředí do tzv. reléového zápisu programu. Jedná se o grafické zobrazení již napsaného programu, které je přehlednější pro hledání chyb a testování. Dalšími nástroji, které jsou ve formě softwarových modulů dostupné v prostředí Mosaic jsou PID maker a Graph maker. Najdeme je na horním panelu pod ikonami.

Kapitola 7

Měření na rodinném domku

Ke svému měření jsem si vybral rodinný jednopatrový domek z 50. let. Jedná se tedy o poměrně starý dům po rekonstrukci. Rekonstrukce zahrnovala výměnu oken za plastová okna s dvojitým sklem a vakuovou izolací, výměnu dveří, zpevnění zdiva a instalace zateplující izolace.

Domy tohoto typu se vyznačují svými lepšími vlastnostmi co se týče tepelné kapacity. Za horkých letních dnů bývají dlouho příjemně chladnými. Jejich teplota roste hlavně díky ohřevu z venku od slunce a zevní díky osobám obývajícím dané prostory. Při dodržování jednoduchých pravidel lze v takovýchto domech minimalizovat nároky na klimatizaci.

Naopak v zimě je náročné dům vytopit. Trvá poměrně dlouho, a spotřebuje se dost energie, než se podaří dům natopit na požadovanou teplotu, ale pak díky své tepelné kapacitě dům vydrží nějakou dobu vytopený. To je způsobeno vlhkostí a jeho tlustými zdmi.

Měření v domě jsem rozdělil do dvou částí

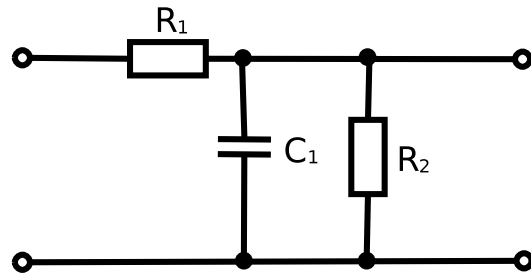
- měření za normalních podmínek a
- měření s poruchami

K měření veškerých teplot jsou využita zmíněná odporová čidla PT100.

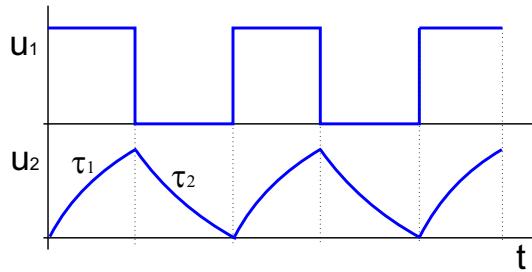
7.1 Očekávané výsledky měření

Chování tepelné soustavy lze poměrně dobře přirovnat k elektrickému systému, konkrétně integračnímu článku obr. 7.1. Na vstup připínáme topný výkon podle průběhu u_1 na obrázku 7.2. Z průběhu u_2 v téže obrázku, který znázorňuje průběh na odporu R_2 , je vidět postupné natápění s časovou konstantou $\tau_1 = R_1 C_1$, po odepnutí topení respektive zdroje sledujeme klesající průběh. Místnost je natopena, kondenzátor je nabit a vybíjí se s časovou konstantou $\tau_2 = C_1 R_2$. Stejně tak v tepelném systému, teplo se ztrácí například stěnami.

Na obrázku 7.3 je vidět průběh teploty v místnosti, kde je použit dvoustavový regulátor s hysterezí. Průběh je poněkud idealizovaný, protože jsou zanedbána zpoždění a setrvačnosti. Horní mez T_2 je na regulátoru nastavena jako vypínačí, dolní mez T_1 naopak určuje, kdy se topení zapne. Zapínací a vypínací meze se obvykle volí tak, aby žádaná

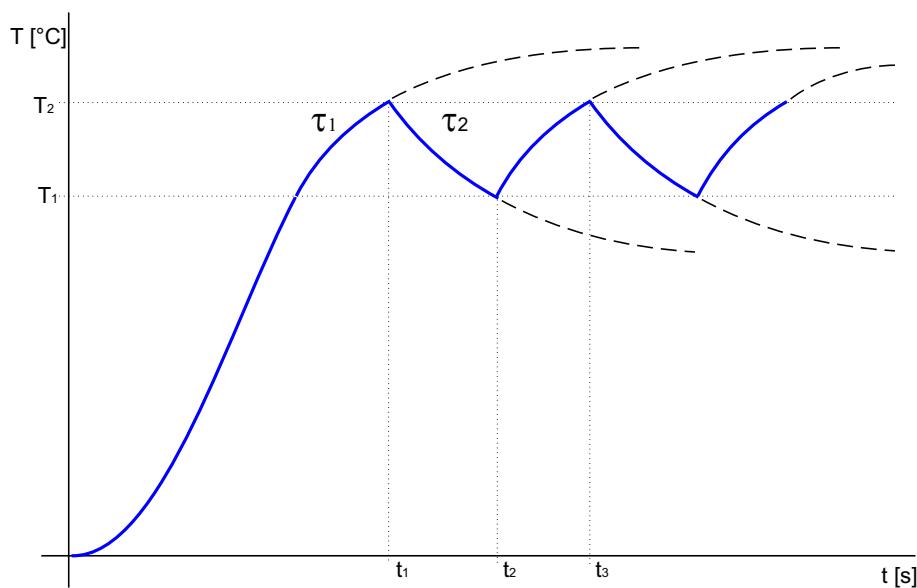


Obrázek 7.1: Integrační článek



Obrázek 7.2: Průběhy na integračním článku

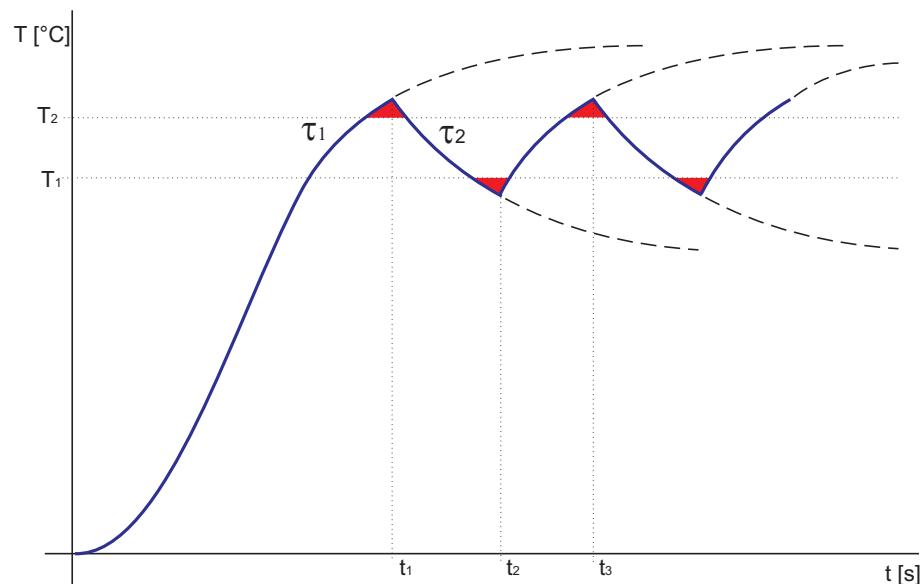
teplota ležela někde mezi nimi. Takto zvolenými mezemi se totiž sníží opotřebení akčních a spínacích členů. Například stykače nespínají tak často, takže ani nedochází k častým proudovým výkyvům a ke vzniku elektromagnetického rušení.



Obrázek 7.3: Ideální průběh teploty v místnosti

Reálné chování místnosti s regulací teploty je poněkud odlišné od výše zmíněného. Jak již bylo řečeno, je třeba brát v úvahu zpoždění a setrvačnosti topného systému. Topnému tělesu potrvá nějaký čas od doby zapnutí, než se zahřeje, tedy i než bude mít nějaký vliv na vytápenou místnost. Od povelu vypnutí uplyne rovněž nějaký čas, než topné těleso skutečně přestane vydávat teplo. Jak je zřejmé z obrázku 7.4, teplota v místnosti mírně poroste i po dosažení vypínačí teploty T_2 . Růst teploty se zastaví až po určité době dané zpožděním. Teprve v čase t_1 se přestane do místnosti dodávat teplo. Obdobně je tomu i při zapínání, po poklesu na zapínací teplotu T_1 se sice zapne přívod energie, ale teplota ještě neroste. Začíná růst až v čase t_2 . Teplota mezi tím nemusí nutně klesat jako je tomu na obrázku 7.4, kde je zobrazen extrém. Záleží to na izolaci místnosti, venkovních podmírkách a rychlosti ohřevu topného tělesa v místnosti.

V měřeném rodinném domku byly některé místnosti vytápeny starším typem litinových nádrží s žebrováním. V závislosti na velikosti jejich plochy (počtu žeber) se pohybuje i doba chladnutí a doba roztápení. Moderní radiátory stejně jako přímotopy mají tato zpoždění také, pouze mají jiné časy, u přímotopů je lze zanedbat.

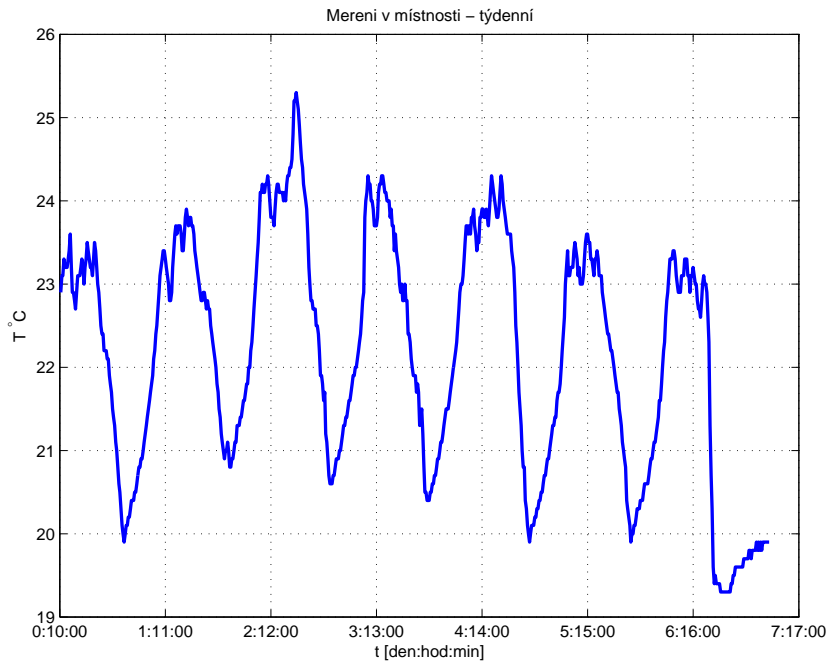


Obrázek 7.4: Reálný průběh teploty v místnosti

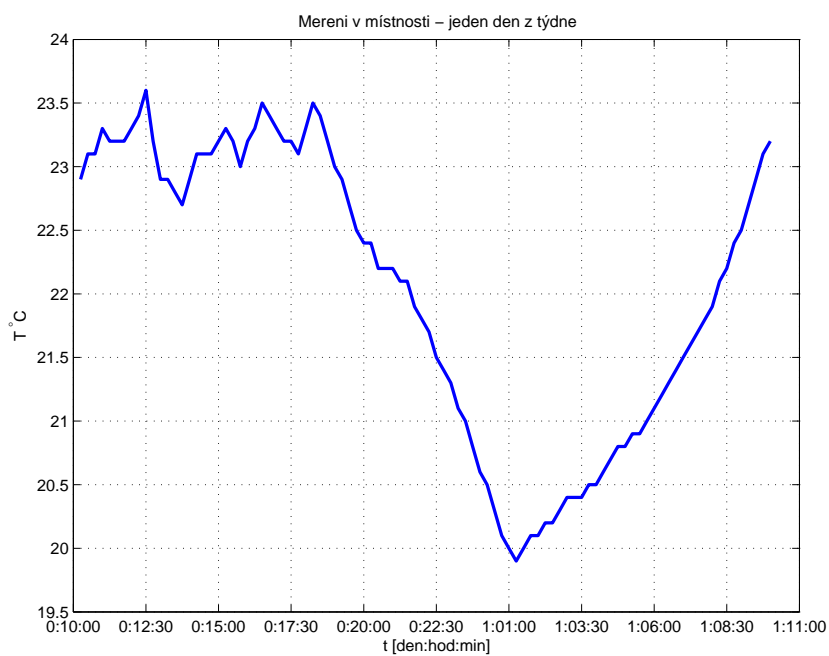
7.2 Měření za normálních podmínek

První způsob měření zahrnuje normální běh a život v domě a všechny chybové veličiny s tím související, např. otvírání oken i dveří, osoby v místnostech, vaření, tepelné ztráty různých spotřebičů. Měření probíhá prakticky neustále a ve všech místnostech. Z tohoto důvodu je měřící interval poněkud delší (15min). Takto zvolená délka ma i jiný důvod. Je jím podvzorkování, které má charakter dolní propusti, a tak graf netrpí šumem od emise tepla různých spotřebičů. Měří se též spotřeba teplé vody i energie spotřebovaná k topení a ohřevu vody.

Na obrázku 7.5 vidíme průběh změrený za celý týden v patnáctiminutových intervalech. Jedná se o měření, kdy provoz místnosti nebyl nijak omezen, místnost tedy žila normálním životem. Jemné zákmity na obrázku jsou způsobeny hysterezí regulátoru, velké propady teploty jsou úmyslné, děje se tak vždy ve večerních hodinách.



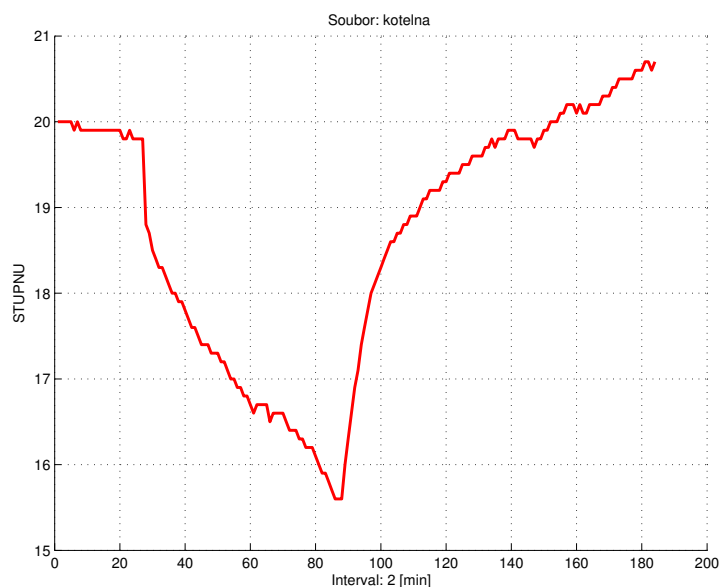
Obrázek 7.5: Týdení měření jedné místnosti



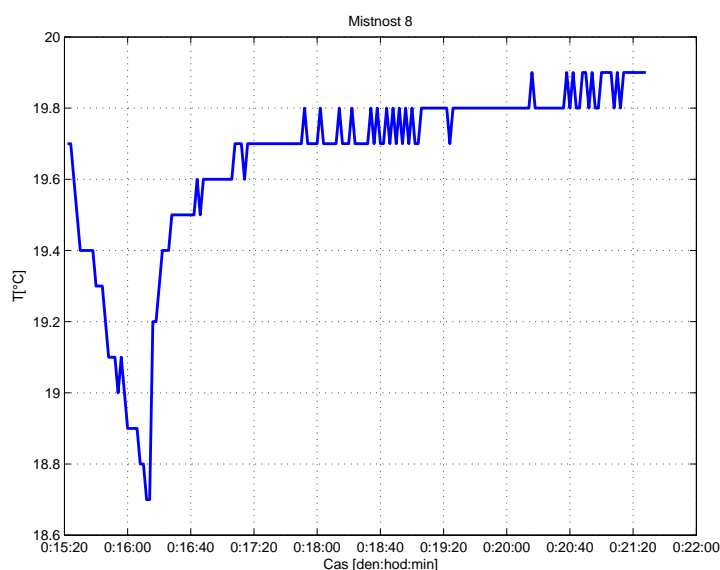
Obrázek 7.6: Den měření jedné místnosti (výřez z obr. 7.5)

7.3 Speciální měření

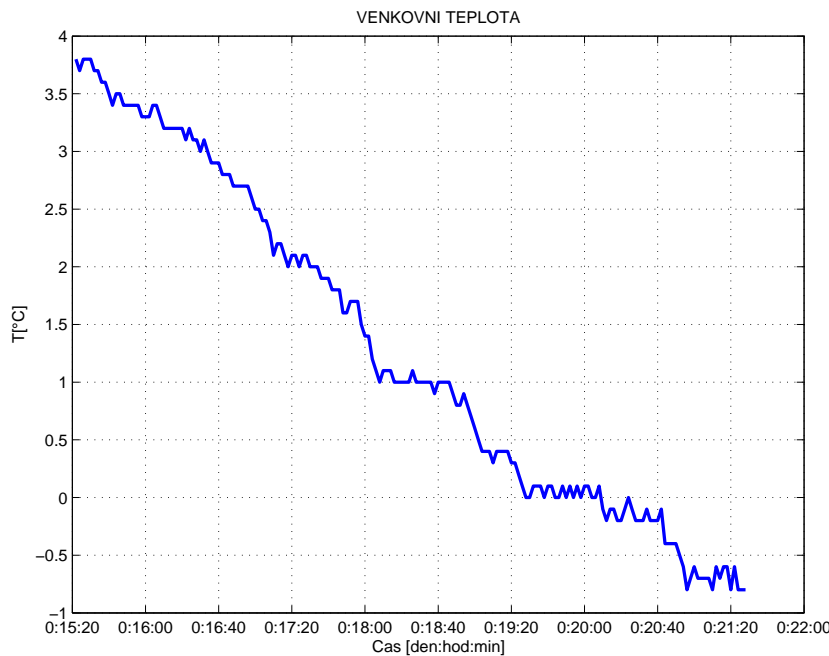
Druhý způsob měření jsem nazval speciální, protože jsem měřil postupně, v každé místnosti zvlášť. Navíc se od předchozího liší ještě tím, že je měřící interval volitelně nastavitelný (většinou nastavuji na 2 min). Jednalo se převážně o měření přechodových charakteristik jednotlivých místností. Jelikož je každá místnost vybavena nezávislým regulačním okruhem s možností přepnutí na manuální ovládání, nebyl problém tyto charakteristiky změřit.



Obrázek 7.7: Přechodová charakteristika místnosti 1



Obrázek 7.8: Přechodová charakteristika místnosti 2



Obrázek 7.9: Venkovní teplota

Následující obrázek obr. 7.8 znázorňuje separátní měření přechodové charakteristiky v jedné místnosti. Nejdříve docházelo ke klimatizování způsobeném otevřením okna, tedy zásadní vliv má venkovní teplota, jejíž průběh je pro úplnost znázorněn na obr. 7.9. Zlom v charakteristice znamená, že se uzavřelo okno a začalo se naplně topit, ovšem pouze v této místnosti! Ostatní místnosti jsou z tohoto měření zcela vyjmuty. Tepelný prostup zkrát stěny je v tuto chvíli vzhledem k teplotám okolních místností zanedbatelný. Na obrázku se vyskytují zákmity $+0.1$ a -0.1 , to je způsobeno, jak již bylo zmíněno výše, chybou - rozlišením měřícího senzoru a též volbou měřícího intervalu.

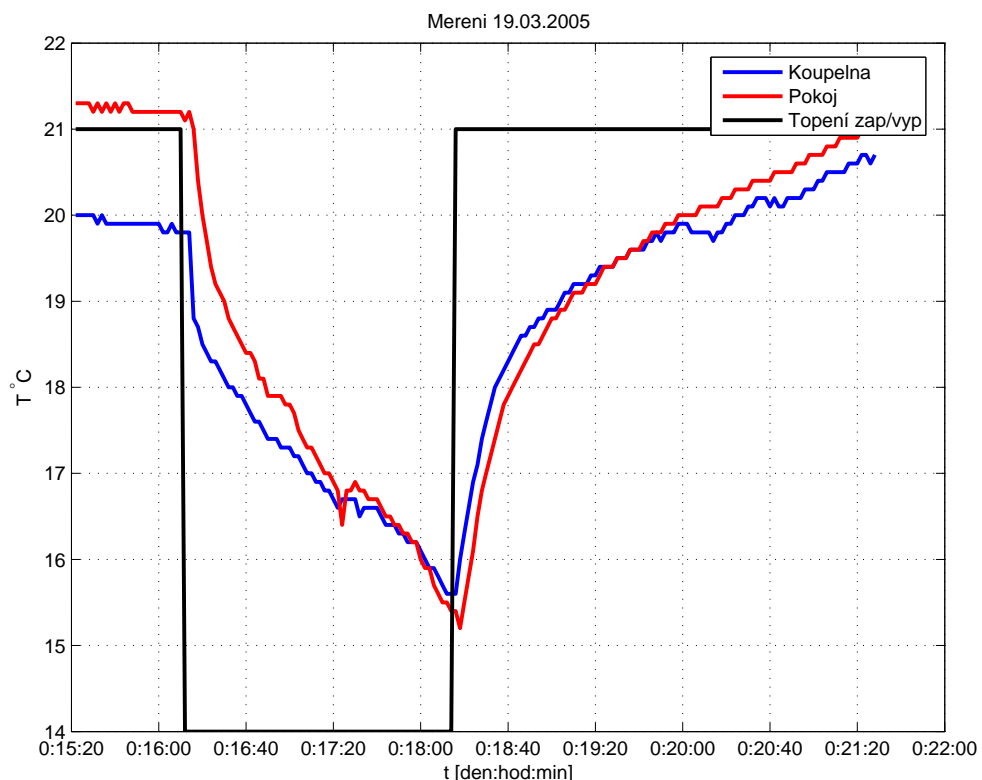
7.4 Vliv polohy místnosti

Vlivem polohy místností rozumíme například jejich umístění vzhledem k světovým stranám i vzhledem k ostatním místnostem v domě. Jde tedy i o to, kolik má daný pokoj sousedících pokojů, zda je rohový a není-li mezi nimi příliš vysoký teplotní rozdíl. Při projektování budov a návrhu jejich topných systémů se vlivy polohy místností kompenzují. Jedná se například o zvýšení výkonu topných těles v severních místnostech nebo místnostech na návětrných stranách. Tyto okolnosti se projeví nižší teplotou venkovních zdí.

Aby bylo možné zjistit jak velký má vliv poloha, provedl jsem několik měření současně, tím jsem vyloučil vliv venkovní teploty. Těžko by bylo možné zajistit, aby se průběhy venkovní teploty shodovaly při měření po několik dnů.

Na obr. 7.10 můžeme pozorovat a srovnávat měření dvou sousedících prostor. Měření probíhalo současně, tedy za stejného průběhu venkovní teploty. Z grafů je patrné, že jejich časové konstanty budou podobné. Pokud ale budeme chtít vyvozovat závěry ohledně po-

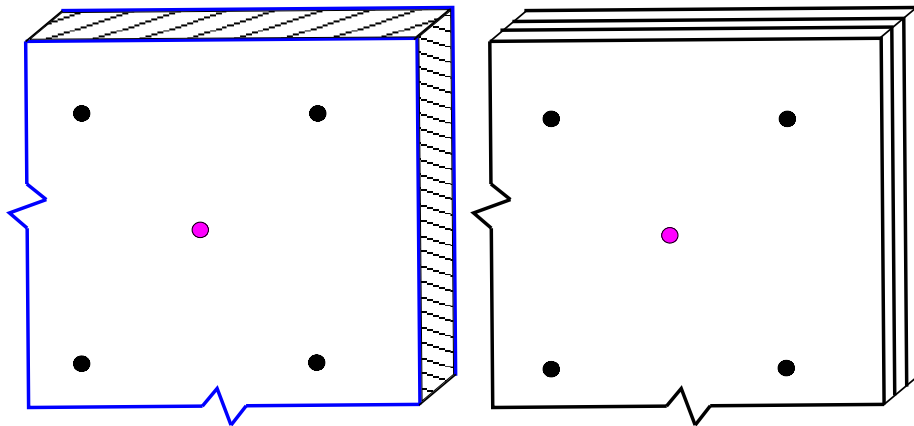
lohy a světových stran, je potřeba brát v potaz jejich velikost, objem ohřívaného vzduchu a topný výkon. Jelikož jedna z měřených místností je obytná, bude zřejmě o něco větší a topné těleso v ní bude mít větší výkon. Z grafu není problém poznat o kterou křivku se jedná.



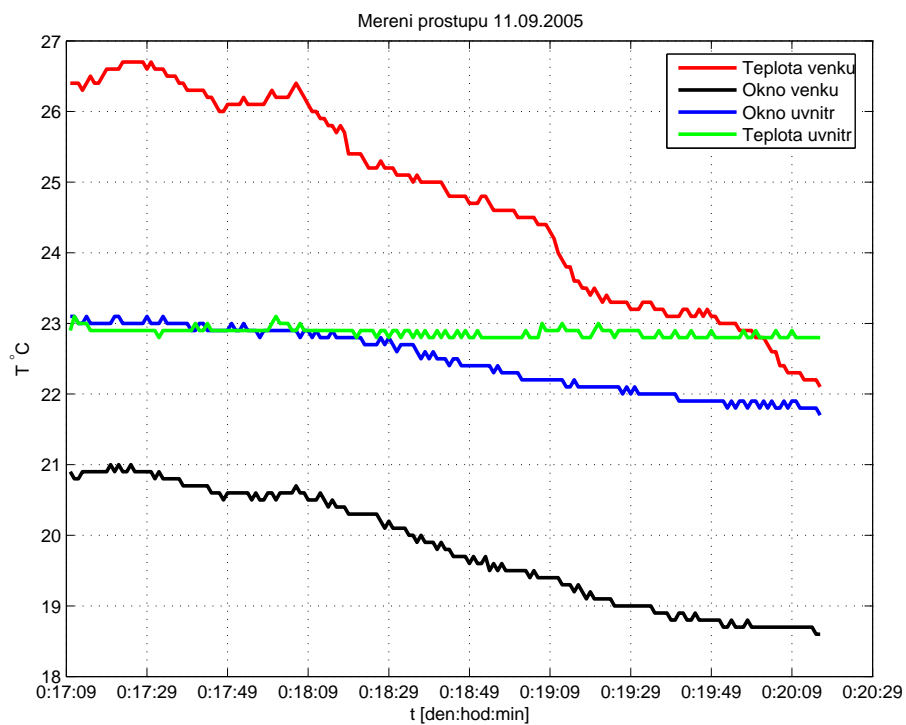
Obrázek 7.10: Přechodové charakteristiky sousedících místností

7.5 Měření ztrát okny a zdmi

Způsob měření úniku tepla okny a zdmi je zakreslen na obrázku 7.12, kde černé body reprezentují místa, kde měly být původně umístěny senzory PT100 a červené body jsou místa, kde byly skutečně umístěny. K tomuto řešení jsem se přiklonil po ohledání rozložení teplot ručním bezdotykovým měřidlem. Dospěl jsem k závěru, že rozložení teplot na skle respektive zdi je rovnoměrné, lze tedy použít místo čtyř senzorů jeden z každé strany okna respektive zdi. Změřené hodnoty jsou na přiloženém CD, zde uvádím jen vybraný graf.



Obrázek 7.11: Měření na okně a zdi



Obrázek 7.12: Příklad měření na okně

Kapitola 8

Model

V této kapitole vytvoříme model. Model popisuje chování teploty místo v závislosti na venkovní teplotě, teplotě okolních místností a vnějších vlivů, například slunce. V první části této kapitoly budu uvažovat místo bez vytápění a sledovat růst a pokles teploty na základě tepla prostupujícího zdmi místo. Model bude tedy obsahovat pouze jeden vstup, a sice venkovní teplotu. Z modelu odhadnu předpokládaný průběh teploty a srovnám se skutečným průběhem. V druhé části bude vytvořen stavový model místo, ve kterém budeme uvažovat i tepelně akumulační vlastnosti a tepelnou energii dodávanou ze zdroje.

8.1 Matematický model prostupu tepla

V tomto případě budeme z ilustračních důvodů uvažovat pouze prostupnost a tepelné akumulační vlastnosti budeme zanedbávat. Jedná se vlastně o výpočet přírůstku nebo ztrát tepla jedné místo vzhledem k okolí.

Za vztahu (2.11) pro tepelný tok v kapitole o tepelné vodivosti (2.2) vyjádříme teplo, které projde plochou S za čas t při tepelném toku q .

$$Q = qSt \quad (8.1)$$

Tepelný tok stěnou dosadíme ze vztahu (3.7) z kapitoly o tepelné prostupnosti. Konstantu K spočteme pro každou stěnu místo zvlášť a stejně tak i podíly tepla.

Vztah pro teplo dodané jednou stěnou bude potom

$$Q = (T_u - T_s) \left(\frac{2}{\alpha} + \frac{a_1}{\lambda_1} + \frac{a_2}{\lambda_2} \right)^{-1} S t = K(T_u - T_s)S t, \quad (8.2)$$

kde T_u je teplota uvnitř zkoumané místo, T_s je teplota za zdí ve vedlejší místo, koeficienty λ_1, λ_2 jsou součinitelé tepelné vodivosti materiálů stěny a a_1, a_2 jejich tloušťky. Koeficienty α reprezentují součinitele přestupu tepla.

Obě teploty jsou funkemi času a při každém měření nabývají různých hodnot. Algoritmus pro výpočet se bude skládat z n kroků, kde n je počet měření.

$$\begin{aligned}
 1. \text{ krok} \quad Q(1) &= KS(T_1(0) - T_2(0)) \\
 T_1(2) &= \frac{Q(1)}{\rho c} + T_2(1) \\
 \\
 2. \text{ krok} \quad Q(2) &= KS(T_1(1) - T_2(1)) \\
 T_1(3) &= \frac{Q(2)}{\rho c} + T_2(2) \\
 \\
 \vdots & \\
 \vdots & \\
 n. \text{ krok} \quad Q(t) &= KS(T_1(t-1) - T_2(t-1)) \\
 T_1(t+1) &= \frac{Q(t)}{\rho c} + T_2(t)
 \end{aligned}$$

Teplo se odebírá z místnosti s vyšší teplotou, dokud se teploty nevyrovnaají. Vzhledem k tomu bude celkové teplo od všech stěn v každém kroku dáno vztahem

$$Q(t) = -K_1 S_1 (T_1(t-1) - T_2(t-1)) \cdots - K_6 S_6 (T_1(t-1) - T_7(t-1)), \quad (8.3)$$

tedy

$$Q = -Q_1 \cdots - Q_6. \quad (8.4)$$

V ploše S je vždy respektováno okno, pro které je proveden výpočet se zvláštní hodnotou K . Stejně tak každý druh zdi má svou vlastní konstantu K .

Hustota vzduchu v místnosti ρ je korigována vztahem pro závislost hustoty vzduchu na teplotě

$$\rho = \frac{\rho_0}{1 + \gamma T} \frac{p_0}{p}, \quad (8.5)$$

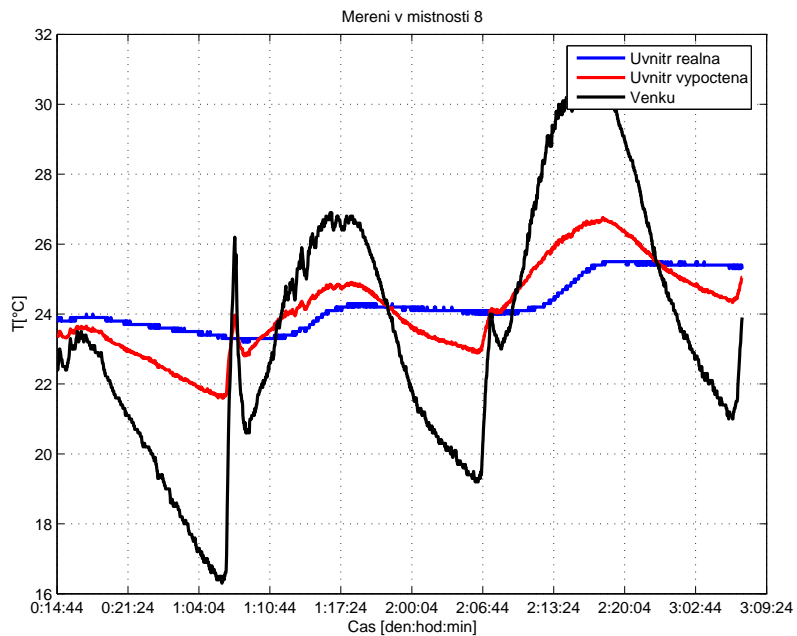
kde $\gamma = 0.00366 [K^{-1}]$ je konstanta závislosti hustoty vzduchu na teplotě, p a p_0 je tlak vzduchu a ρ a ρ_0 je hustota vzduchu. Přitom hodnoty veličin s indexem 0, p_0 a ρ_0 jsou konstanty. $p_0 = 100 \text{ kPa}$ a $\rho_0 = 1.276 \text{ kg} \cdot \text{m}^{-3}$. Jak jsme již vysvětlili v kapitole o termodynamice, nedopustíme se významné chyby.

Na konci každého kroku se provádí odhad budoucí teploty v místnosti na základě vlivu okolních místností. Správnost tohoto odhadu můžeme posoudit z obrázků 8.1 a 8.2.

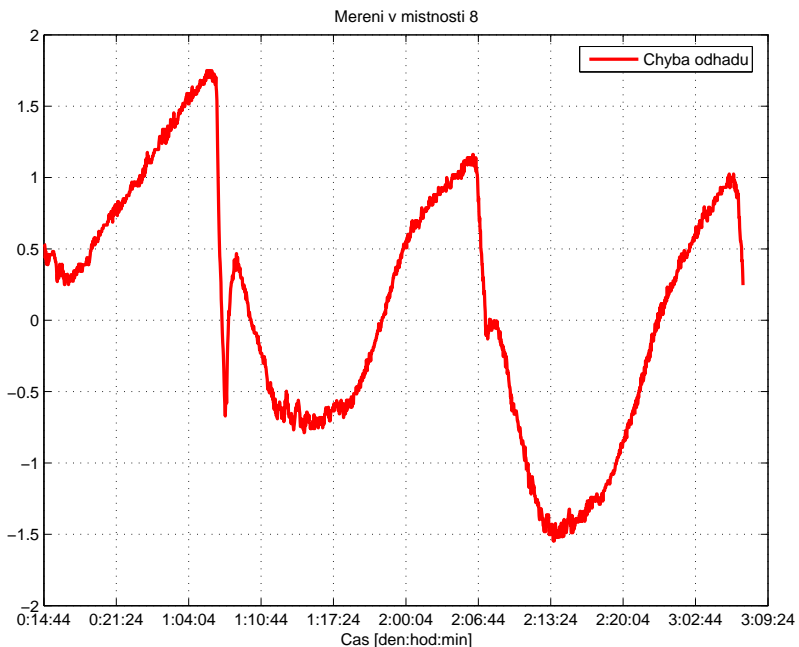
Na obrázcích vidíme třídenní měření v intervalu 2 minut. Jedná se o místnost přes den vystavenou slunečnímu záření, situovanou na jižní straně budovy. Zvýšená chyba výpočtu ve večerních hodinách je způsobena lidskou přítomností a běhu elektrického spotřebiče.

Na též obrázku 8.1 nás jistě zaujme skok venkovní teploty. Na první pohled se může zdát, že jde o chybu vzniklou vlivem rušení, ale podíváme-li se na obrázek 8.3, uvidíme, že kritických vzorků je několik. Nejedná se přímo o chybu měření, naměřené hodnoty jsou zcela správné. Tato anomálie, vyskytující se okolo sedmé hodiny ranní, je systematickou chybou. Prozkoumáním několika dalších měření venkovní teploty, jsem zjistil, že se okamžik výskytu mění, posouvá se. Potom už nebylo těžké vysledovat, že se posouvá podle dne v roce. Z toho vyplývá, že ho musí v danou dobu ohřívat sluneční svit, ale jen na malý okamžik. Senzor venkovní teploty se nachází ve stínu, ale jak je zřejmé

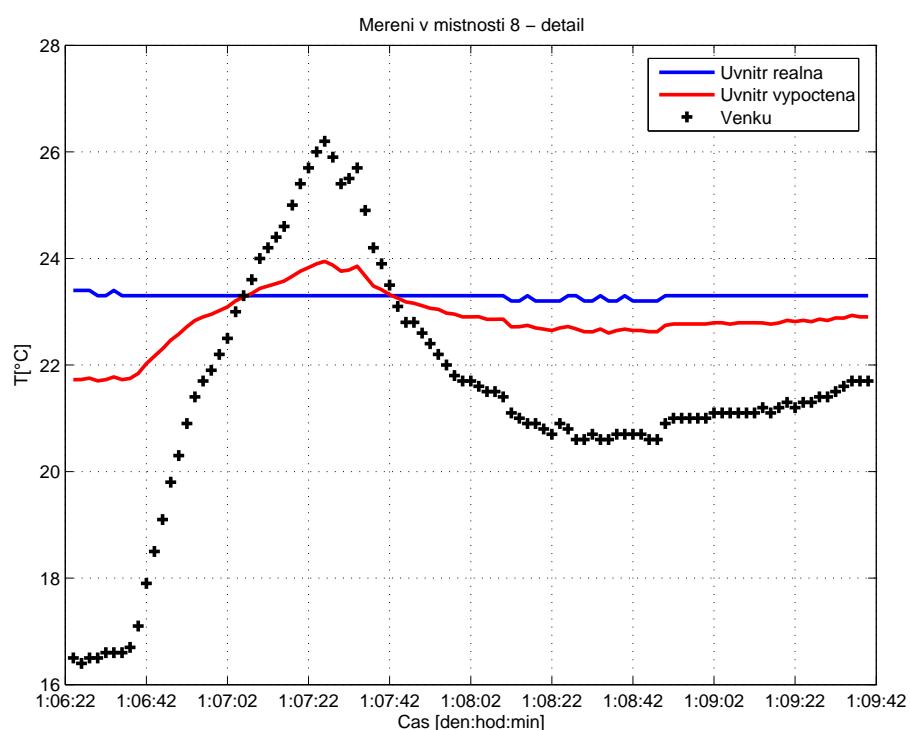
z měření, musí na něj svítit slunce. Dochází k tomu díky malému průhledu v korunách stromů, kterého si jinak není možné všimnout. Jedná se o typickou poruchovou veličinu těchto systémů, které je možné předejít vhodným umístěním senzoru.



Obrázek 8.1: Srovnání výpočtu se skutečným průběhem



Obrázek 8.2: Odchylka vypočteného průběhu

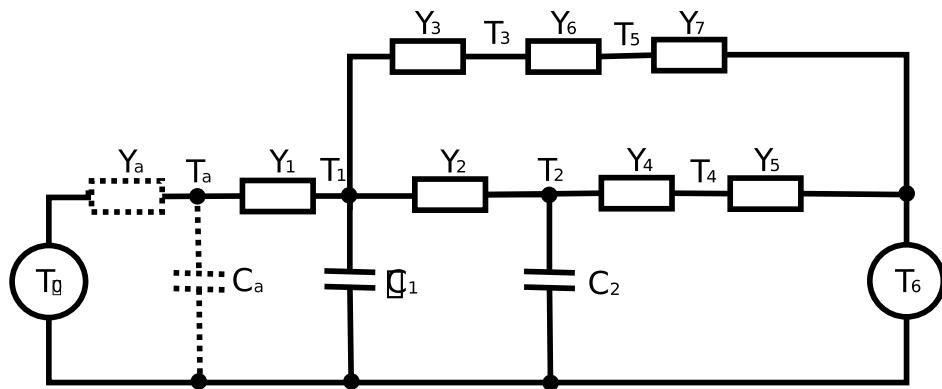


Obrázek 8.3: Detail průběhu z obr.8.1

8.2 Model chování místnosti

Místnost z našeho pohledu budeme modelovat jako systém s dvěma časovými konstantami. Jedna časová konstanta bude reprezentovat tepelnou kapacitu vzduchu v místnosti a druhá časová konstanta bude reprezentovat tepelnou kapacitu zdí. Do modelu je možné zahrnout i tepelnou kapacitu vody, její vodivost a dopravní zpoždění (na obrázku označeno indexy a).

Tyto dvě konstanty určíme snadno z změření. Naš systém si můžeme rozkreslit jako elektrický obvod obr. 8.4. Teplota je v našem případě ekvivalentem napětí v elektrickém obvodu, tepelnou vodivost i tepelnou kapacitu lze zaměnit za elektrickou. V obrázku jsou



Obrázek 8.4: Elektrické schéma tepelných vlastností modelované místnosti

pro názornost použity popisy přímo pro tepelný systém podle vztahu ekvivalence, který je zmíněn výše. Popisky v obrázku tedy jsou

T_0 je teplota topné vody

T_1 je teplota v místnosti,

T_2 je teplota zdí uvnitř místnosti,

T_3 je teplota okna (skla) uvnitř místnosti,

T_4 je teplota zdí vně místnosti,

T_5 je teplota oken vně místnosti,

T_6 je venkovní teplota,

Y_1 je tepelná vodivost mezi topnou vodou a vzduchem v místnosti,

Y_2 charakterizuje přestup vzduch - zeď uvnitř místnosti,

Y_3 charakterizuje přestup vzduch - okno uvnitř místnosti,

Y_4 je tepelná vodivost zdi,

Y_5 charakterizuje přestup vzduch - zeď vně místnosti,

Y_6 je tepelná vodivost skla,

Y_7 charakterizuje přestup vzduch - okno vně místnosti,

Y_a je tepelná vodivost topné vody,

C_1 je tepelná kapacita vzduchu v místnosti,

C_2 je tepelná kapacita zdiva,

C_a je tepelná kapacita topné vody.

Jelikož jsme náš systém překreslili jako elektrický obvod, můžeme využít zákonitostí a vztahů platících pro elektrické obvody. Pro sestavení diferenciálních rovnic použijeme metodu uzlových napětí. Nebudu zde zmiňovat postup, omezím se na rovnice plynoucí z obvodu, které dále upravím pro naše potřeby.

Použitím metody uzlových napětí dostaneme tyto rovnice

$$\begin{aligned}(T_1 - T_0) Y_1 + (T_1 - T_6) Y_{367} + (T_1 - T_2) Y_2 + C_1 \frac{dT_1}{dt} &= 0, \\ (T_2 - T_1) Y_2 + (T_2 - T_6) Y_{45} + C_2 \frac{dT_2}{dt} &= 0,\end{aligned}\tag{8.6}$$

kde vodivosti Y_3 , Y_6 a Y_7 byly sloučeny pro jednoduchost do jedné vodivosti Y_{367} , stejně tak i vodivosti Y_4 a Y_5 do Y_{45} . Výsledná vodivost sériově řazených vodivostí je dána převrácenou hodnotou součtu převrácených hodnot jednotlivých vodivostí, stejně jako pro paralelní řazení rezistorů. V našem případě jde pro tepelné vodivosti a prostupy, jak je vidět ze vztahu (3.7) v kapitole o tepelné prostupnosti (3), o stejný princip.

Po úpravě rovnic dostaneme

$$\begin{aligned}T_0 \frac{Y_1}{C_1} - T_2 \frac{Y_1 + Y_{367} + Y_2}{C_1} + T_2 \frac{Y_2}{C_1} + T_6 \frac{Y_{367}}{C_1} &= \frac{dT_1}{dt}, \\ T_1 \frac{Y_2}{C_2} - T_2 \frac{Y_2 + Y_{45}}{C_2} + T_6 \frac{Y_{45}}{C_2} &= \frac{dT_2}{dt}.\end{aligned}\tag{8.7}$$

Z předchozích rovnic vypočteme matice pro stavový popis systému. Stavový popis pro spojitý systém vypadá následovně

$$\begin{aligned}\dot{\mathbf{x}}(t) &= \mathbf{A} \mathbf{x}(t) + \mathbf{B} \mathbf{u}(t), \\ \mathbf{y}(t) &= \mathbf{C} \mathbf{x}(t) + \mathbf{D} \mathbf{u}(t),\end{aligned}\tag{8.8}$$

kde

\mathbf{A} je matice systému rozměru $(n \times n)$,

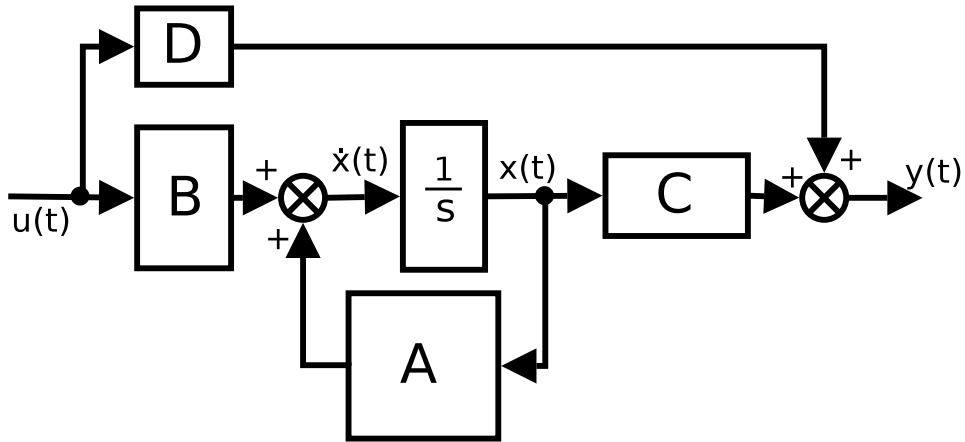
\mathbf{B} je matice řízení rozměru $(n \times r)$,

\mathbf{C} a \mathbf{D} jsou matice výstupní rozměru $(m \times n)$ a $(m \times r)$.

Jak je z diferenciálních rovnic zřejmé, bude se jednat o systém druhého řádu, se dvěma vstupy T_0 , T_6 a jedním výstupem T_1 .

Pro náš model jedné místnosti budou stavové rovnice

$$\begin{aligned}\left[\begin{array}{c} \dot{T}_1 \\ \dot{T}_2 \end{array} \right] &= \mathbf{A} \left[\begin{array}{c} T_1 \\ T_2 \end{array} \right] + \mathbf{B} \left[\begin{array}{c} T_0 \\ T_6 \end{array} \right] \text{ a} \\ \left[\begin{array}{c} T_1 \end{array} \right] &= \mathbf{C} \left[\begin{array}{c} T_1 \\ T_2 \end{array} \right] + \mathbf{D} \left[\begin{array}{c} T_0 \\ T_6 \end{array} \right],\end{aligned}\tag{8.9}$$



Obrázek 8.5: Blokové schéma stavového modelu

kde

$$\mathbf{A} = \begin{bmatrix} -\frac{Y_1 + Y_{367} + Y_2}{C_1} & \frac{Y_2}{C_1} \\ \frac{Y_2}{C_2} & -\frac{Y_2 + Y_{45}}{C_2} \end{bmatrix}, \quad \mathbf{B} = \begin{bmatrix} \frac{Y_1}{C_1} & \frac{Y_{367}}{C_1} \\ 0 & \frac{Y_{45}}{C_2} \end{bmatrix},$$

$$\mathbf{C} = [1 \ 0], \quad \mathbf{D} = [0 \ 0].$$

Jednotlivé tepelné vodivosti určíme ze vztahu

$$Y_i = K S, \quad (8.10)$$

kde K je konstanta pro přestup tepla viz. 2.2 S je plocha uvažovaného rozhraní.

Výpočty tepelných kapacit provedeme podle vztahu

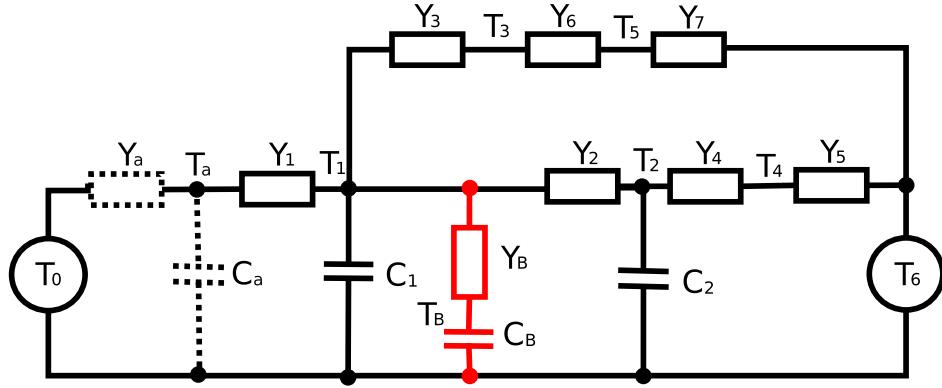
$$C_i = m c = \rho V_i c, \quad (8.11)$$

kde c je měrná tepelná kapacita, ρ je hustota a V objem.

Vypočtené tepelné kapacity a vodivosti pro jednotlivé místonosti zde nevyčíslují, protože jsou uloženy v datové struktuře na přiloženém disku.

Na obrázku 8.6 vidíme model rozšířený o vnitřní zdivo, od předchozího se liší stavem T_B , změnil se tedy řád systému. Stavové rovnice rozšířeného modelu dostaneme z rovnic předchozího modelu přičtením členu

$$(T_1 - T_B) Y_B$$



Obrázek 8.6: Schéma rozšířeného modelu

a dálé přidáním třetí rovnice. Rovnice rozšířeného modelu bude tedy

$$\begin{aligned}
 T_0 \frac{Y_1}{C_1} - T_2 \frac{Y_1 + Y_{367} + Y_2 + Y_B}{C_1} + T_B \frac{Y_B}{C_1} + T_2 \frac{Y_2}{C_1} + T_6 \frac{Y_{367}}{C_1} &= \frac{dT_1}{dt}, \\
 T_1 \frac{Y_2}{C_2} - T_2 \frac{Y_2 + Y_{45}}{C_2} + T_6 \frac{Y_{45}}{C_2} &= \frac{dT_2}{dt} \\
 T_1 \frac{Y_B}{C_B} - T_B \frac{Y_B}{C_B} &= \frac{dT_B}{dt}.
 \end{aligned} \tag{8.12}$$

T_B je teplota vnitřních zdí,

Y_B je tepelná vodivost vnitřních zdí,

C_B je tepelná kapacita vnitřních zdí.

Odtud po úpravě dostaneme diferenciální rovnice

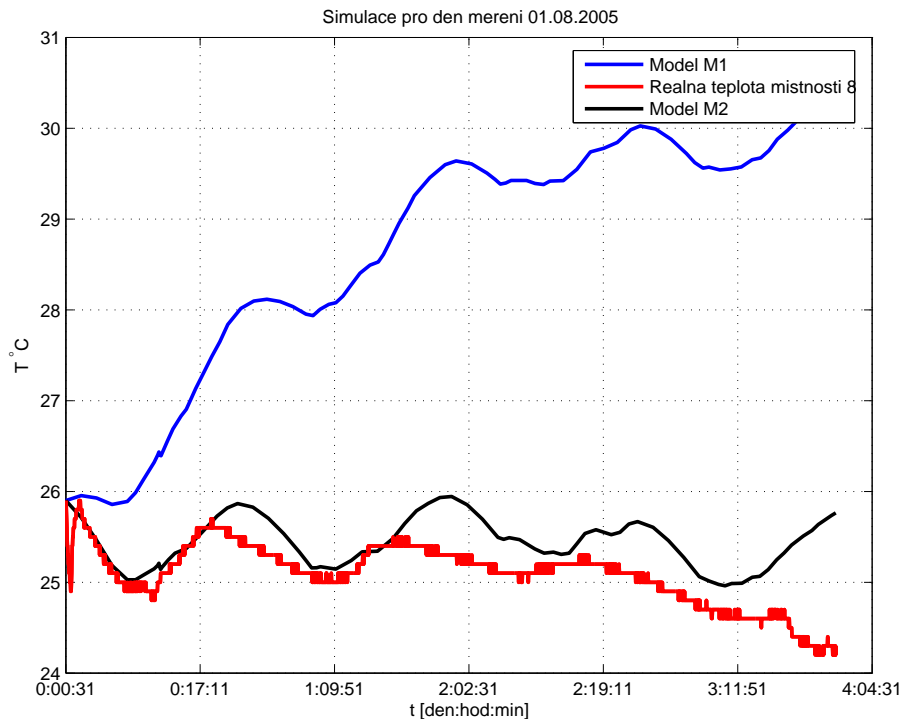
$$\begin{aligned}
 \begin{bmatrix} \dot{T}_1 \\ \dot{T}_2 \\ \dot{T}_B \end{bmatrix} &= \mathbf{A} \begin{bmatrix} T_1 \\ T_2 \\ T_B \end{bmatrix} + \mathbf{B} \begin{bmatrix} T_0 \\ T_6 \end{bmatrix} \text{ a} \\
 \begin{bmatrix} T_1 \\ T_2 \\ T_B \end{bmatrix} &= \mathbf{C} \begin{bmatrix} T_1 \\ T_2 \\ T_B \end{bmatrix} + \mathbf{D} \begin{bmatrix} T_0 \\ T_6 \end{bmatrix},
 \end{aligned} \tag{8.13}$$

kde

$$\mathbf{A} = \begin{bmatrix} -\frac{Y_1 + Y_{367} + Y_2 + Y_B}{C_1} & \frac{Y_2}{C_1} & \frac{Y_B}{C_1} \\ \frac{Y_2}{C_2} & -\frac{Y_2 + Y_{45}}{C_2} & 0 \\ \frac{Y_B}{C_B} & 0 & -\frac{Y_B}{C_B} \end{bmatrix}, \quad \mathbf{B} = \begin{bmatrix} \frac{Y_1}{C_1} & \frac{Y_{367}}{C_1} \\ 0 & \frac{Y_{45}}{C_2} \\ 0 & 0 \end{bmatrix},$$

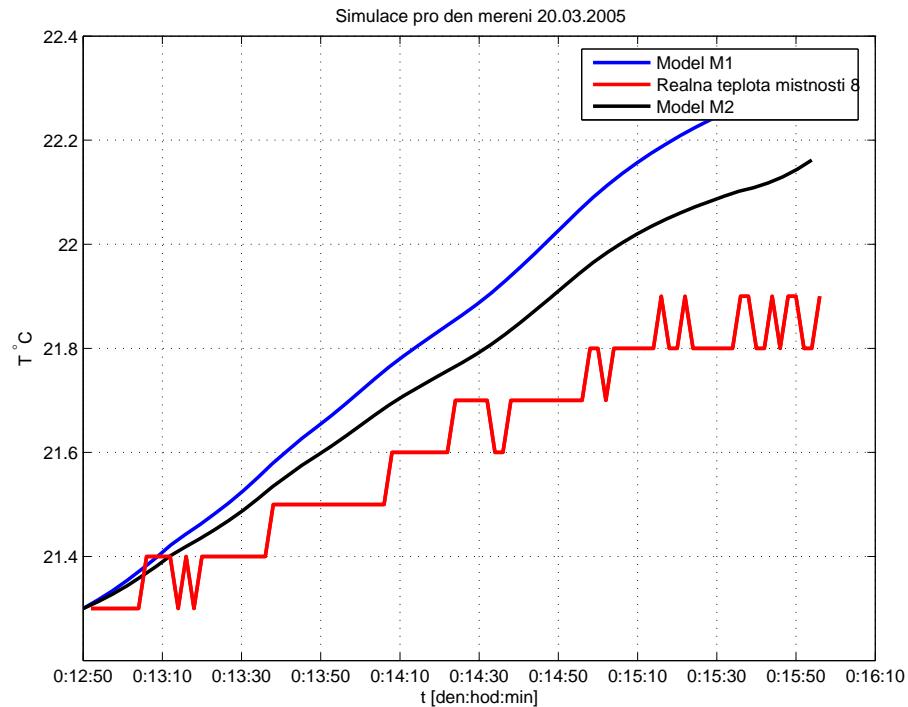
$$\mathbf{C} = \begin{bmatrix} 1 & 0 & 0 \end{bmatrix}, \quad \mathbf{D} = \begin{bmatrix} 0 & 0 \end{bmatrix}.$$

Na obrázcích 8.7 a 8.8 vidíme srovnání prvního a druhého modelu. Je vidět, že přesnost modelu bude záviset na ročním období. Je vidět, že druhý model věrněji sleduje skutečný systém, to je způsobeno tím, že druhý model uvažuje ztráty způsobené prostupem tepla do sousedních místností. Z určitého pohledu se nejedná o ztráty, protože teplo, prostupující do sousedních místností, zůstává v budově. Z pohledu uvažované místnosti jde jednoznačně o ztráty.

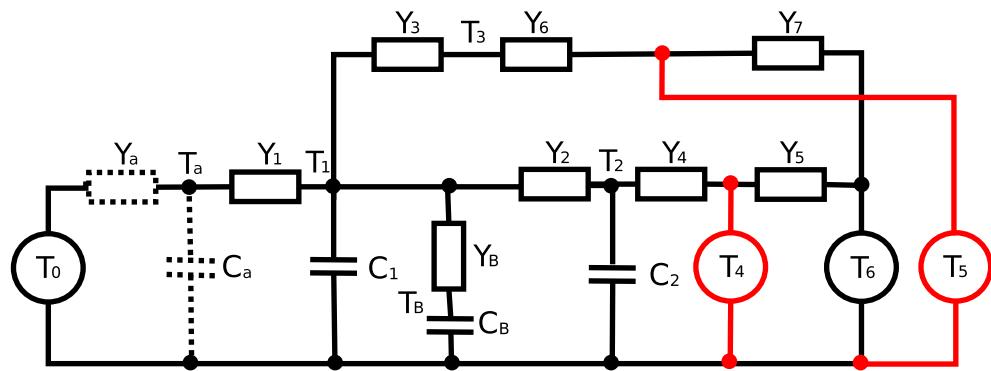


Obrázek 8.7: Srovnání modelů

Na obrázku 8.18 vidíme model obsahující vliv slunečního záření, větru a deště. Jedná se vlastně o důsledek těchto vlivů, protože je neměříme přímo, ale měříme jejich účinek. Do modelu jsem přidal stavy T_4 a T_5 . Jedná se o vnější teplotu zdiva a vnější teplotu oken, které jsou ovlivňovány zmíněnými venkovními vlivy. Tyto stavy známe, protože je měříme a jsou do modelu vneseny "z venku" viz 8.10. Proto bude mít matice \mathbf{A} poslední dva řádky nulové.



Obrázek 8.8: Srovnání modelů



$$\begin{bmatrix} \dot{T}_1 \\ \dot{T}_2 \\ \dot{T}_B \\ \dot{T}_4 \\ \dot{T}_5 \end{bmatrix} = \mathbf{A} \begin{bmatrix} T_1 \\ T_2 \\ T_B \\ T_4 \\ T_5 \end{bmatrix} + \mathbf{B} \begin{bmatrix} T_0 \\ T_6 \end{bmatrix} \text{ a} \quad (8.14)$$

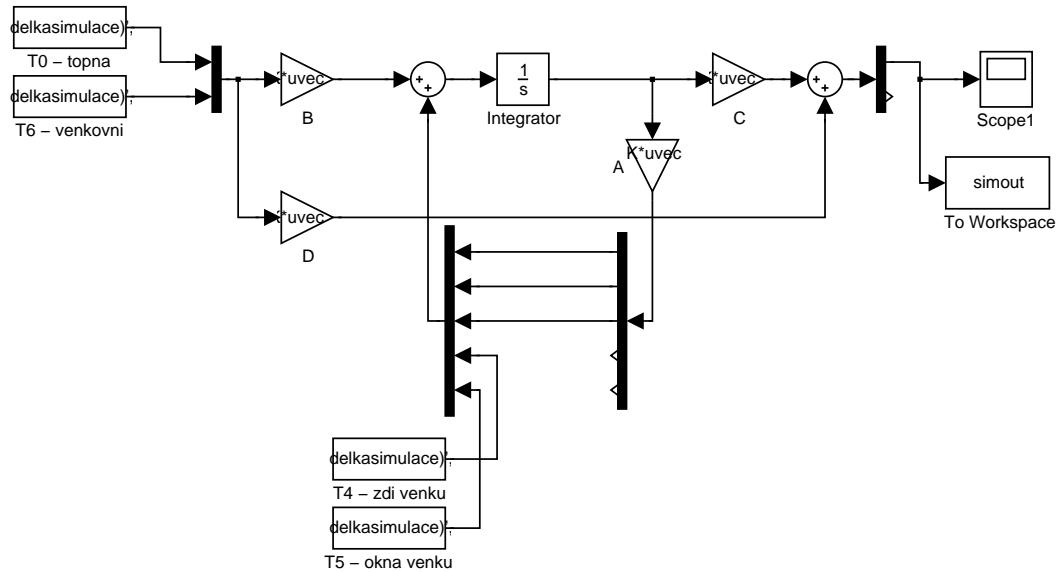
$$\begin{bmatrix} T_1 \\ T_2 \\ T_B \\ T_4 \\ T_5 \end{bmatrix} = \mathbf{C} \begin{bmatrix} T_1 \\ T_2 \\ T_B \\ T_4 \\ T_5 \end{bmatrix} + \mathbf{D} \begin{bmatrix} T_0 \\ T_6 \end{bmatrix},$$

kde

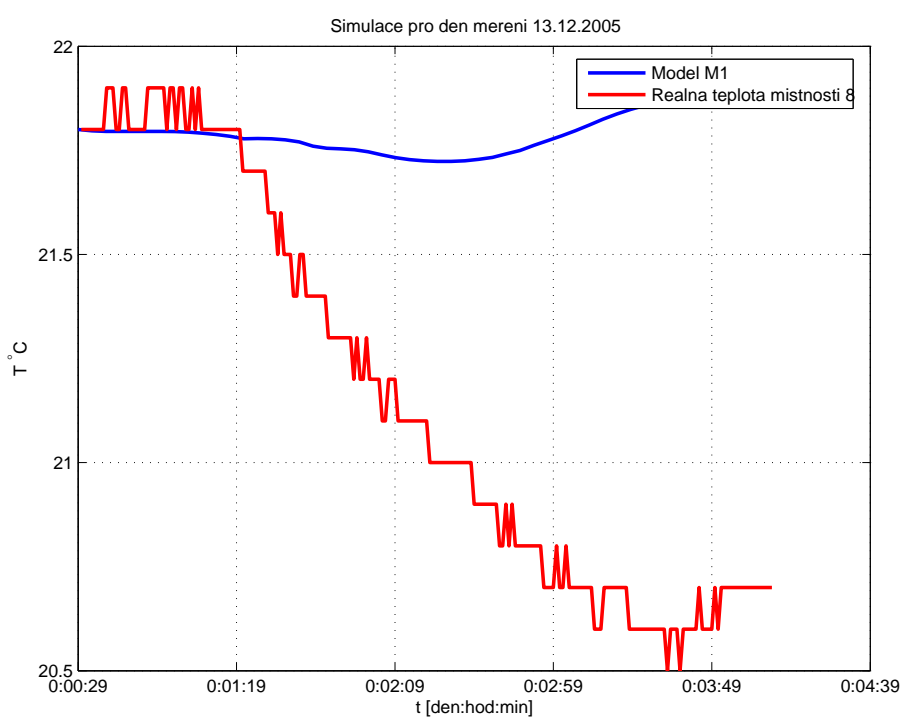
$$\mathbf{A} = \begin{bmatrix} -\frac{Y_1 + Y_B + Y_2 + Y_{36}}{C_1} & \frac{Y_2}{C_1} & \frac{Y_B}{C_1} & 0 & \frac{Y_{36}}{C_1} \\ \frac{Y_2}{C_2} & -\frac{Y_2 + Y_4}{C_2} & 0 & \frac{Y_4}{C_2} & 0 \\ \frac{Y_B}{C_B} & 0 & -\frac{Y_B}{C_B} & 0 & 0 \\ 0 & 0 & 0 & 0 & 0 \\ 0 & 0 & 0 & 0 & 0 \end{bmatrix},$$

$$\mathbf{B} = \begin{bmatrix} \frac{Y_1}{C_1} & 0 \\ 0 & 0 \\ 0 & 0 \\ 0 & 0 \\ 0 & 0 \end{bmatrix},$$

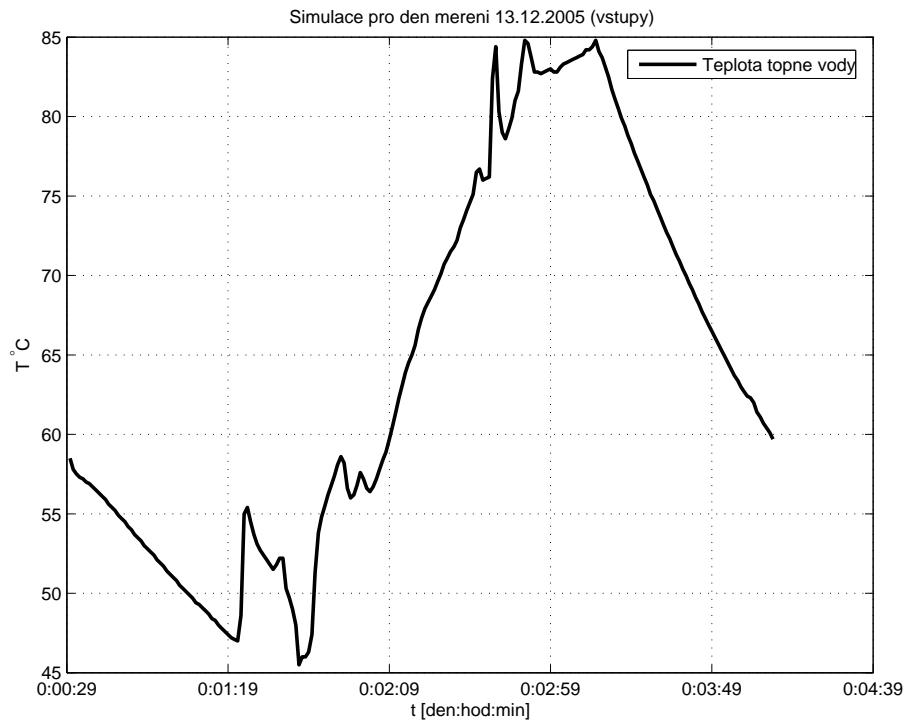
$$\mathbf{C} = [1 \ 0 \ 0 \ 0 \ 0], \quad \mathbf{D} = [0 \ 0].$$



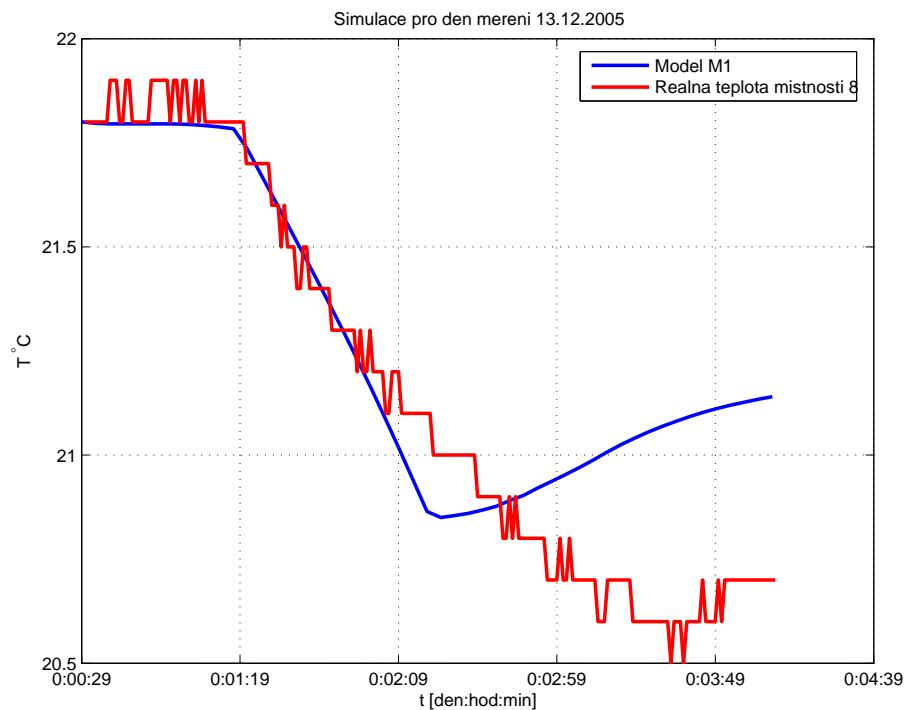
Obrázek 8.10: Schéma rozšířeného modelu 2



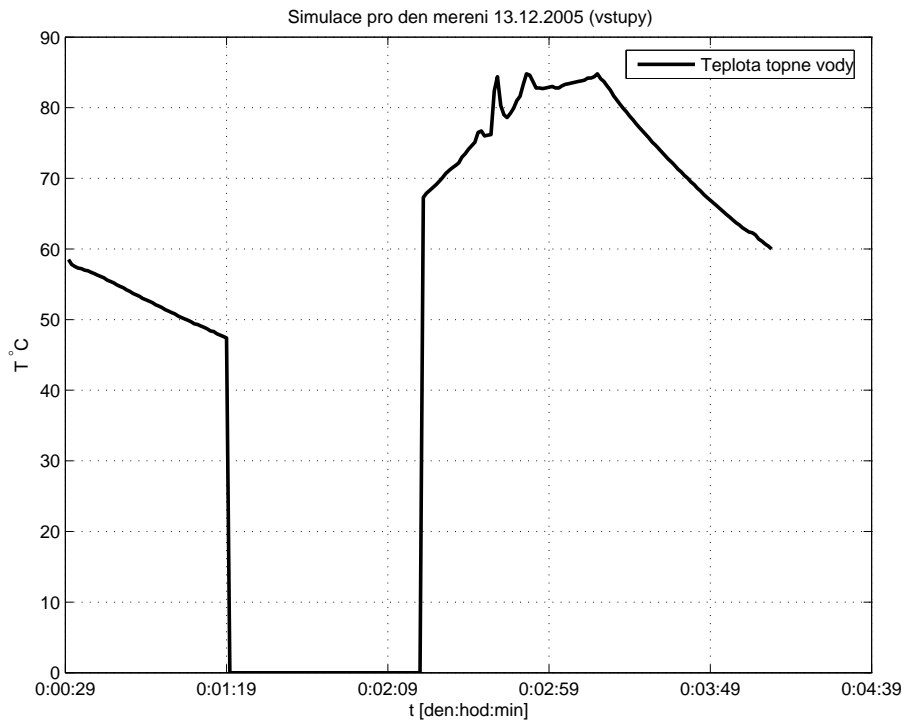
Obrázek 8.11: Předpokládaný průběh teploty v místnosti



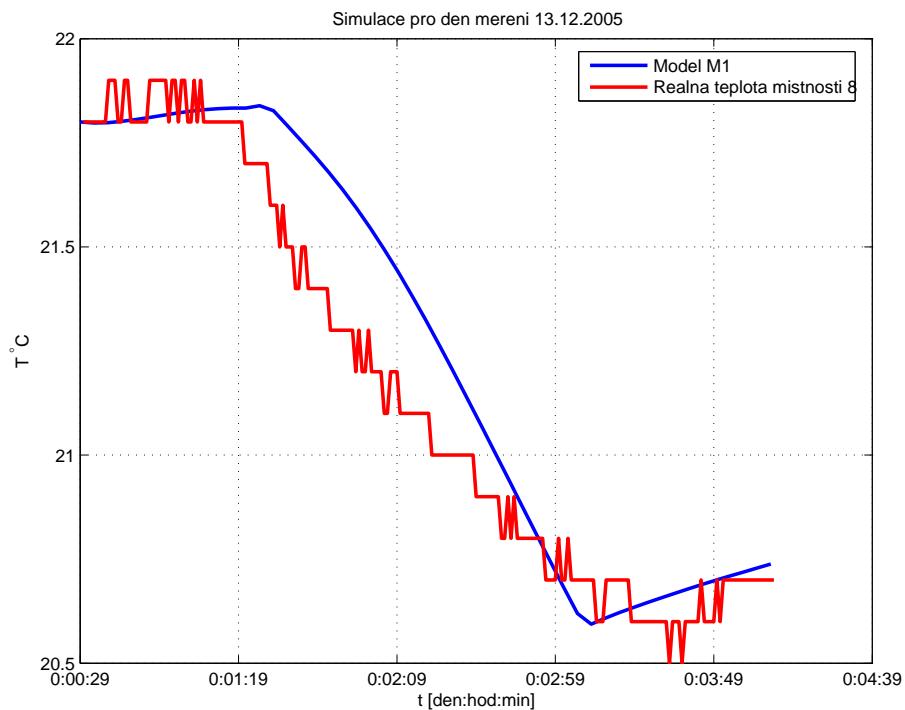
Obrázek 8.12: Teplota topné vody v oběhu



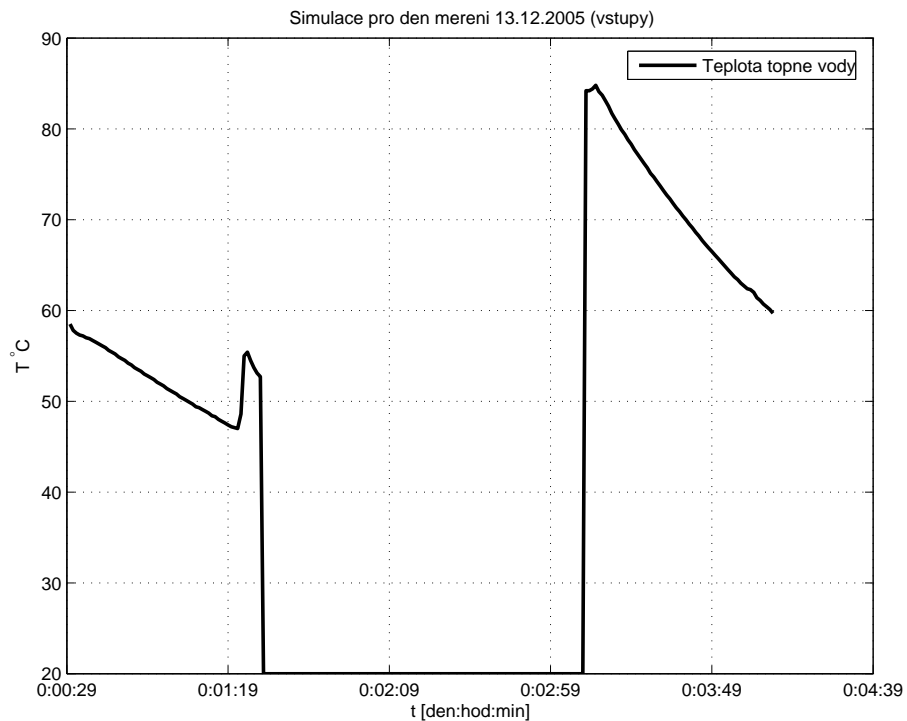
Obrázek 8.13: Průběh teploty v místnosti při zásahu podle obr. 8.14



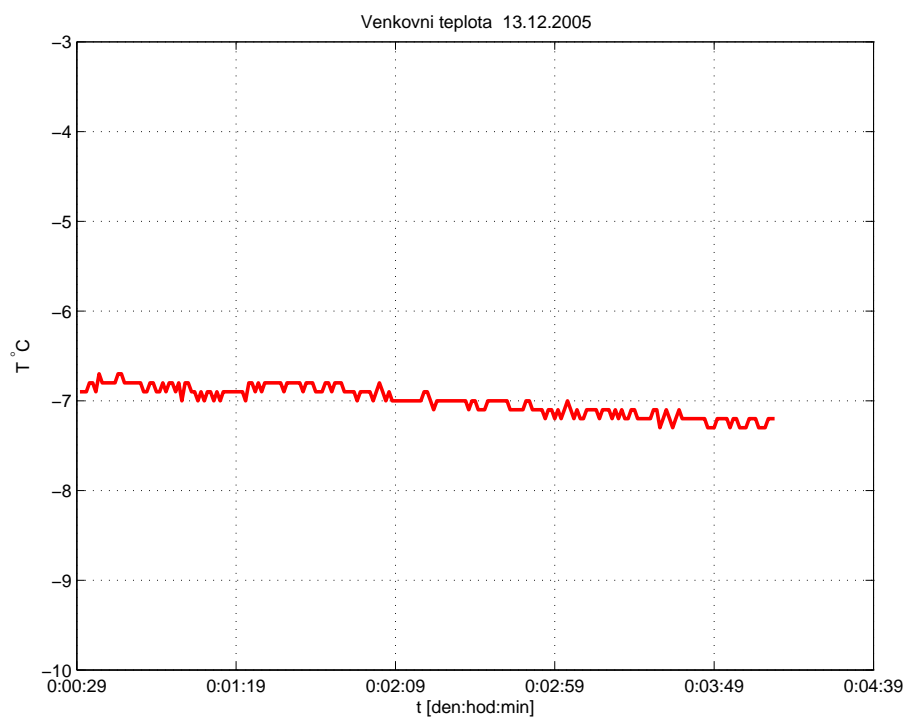
Obrázek 8.14: Topná voda - zavřený ventil



Obrázek 8.15: Průběh teploty v místnosti při zásahu podle obr. 8.16

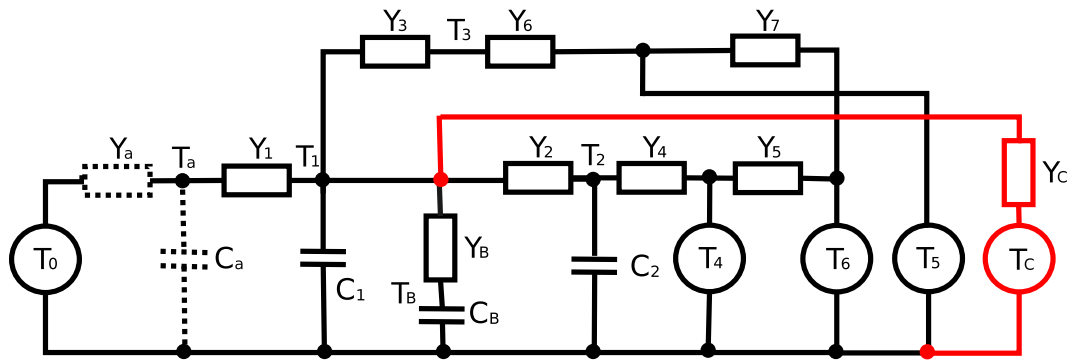


Obrázek 8.16: Topná voda - zavřený ventil



Obrázek 8.17: Venkovní teplota

Další možností rozšíření modelu je vidět na obrázku 8.18. Jedná se o vliv přítomnosti osoby nebo osob. Jak je zakresleno v obrázku, bude přítomnost člověka přímo ovlivňovat jen teplotu vzduchu v místnosti.



Obrázek 8.18: Schéma rošířeného modelu 3

T_C je průměrná teplota osoby či osob v místnosti

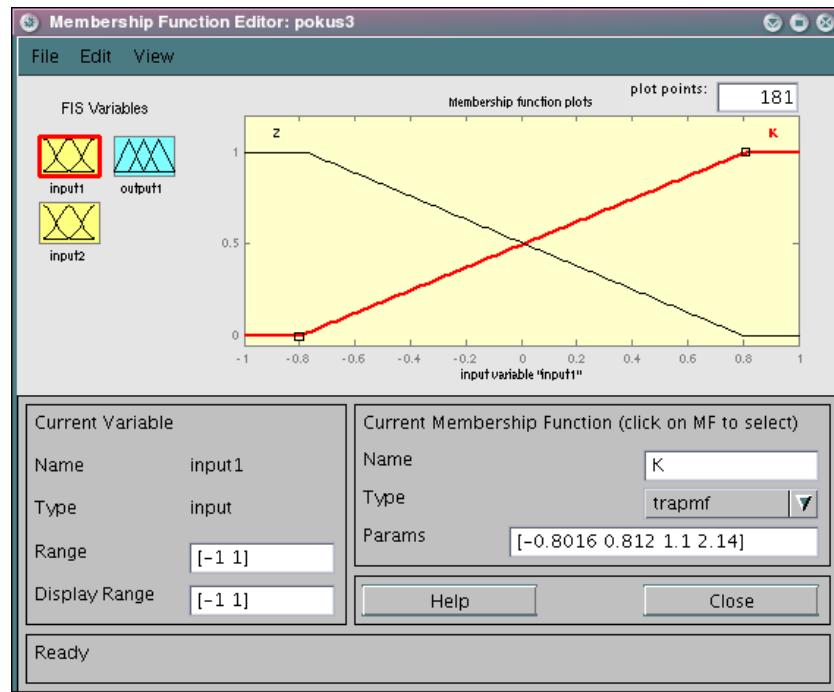
Y_C charakterizuje tepelný přestup mezi osobou a vzduchem.

Kapitola 9

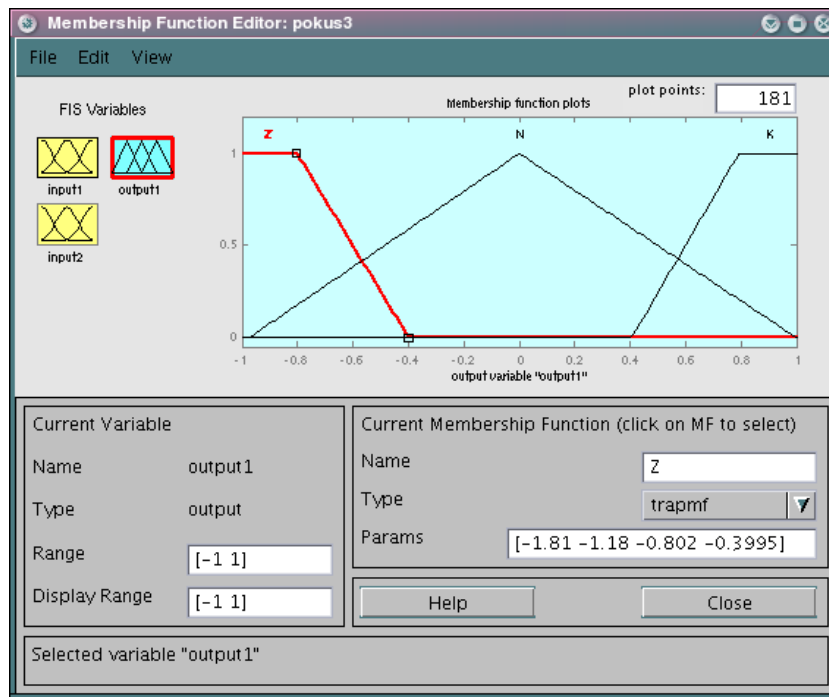
Návrh regulátorů

Pro účely návrhu regulátorů je vzhledem k velmi nízkým hodnotám v maticích modelu nutné provést zjednodušení. Z tohoto důvodu jsem převedl stavový popis modelu na přenos systému, a teprve potom navrhoval regulátory. Navržené regulátory jsem testoval na zjednodušeném modelu a též na původním. Regulátory typu **PID** byly navrhovány v MATLABu systémem *rltool*, fuzzy regulátory byly navrženy a realizovány s pomocí **fuzzy** toolboxu pro matlab systémem *anfisedit* viz [6], [7].

9.1 Fuzzy regulátor



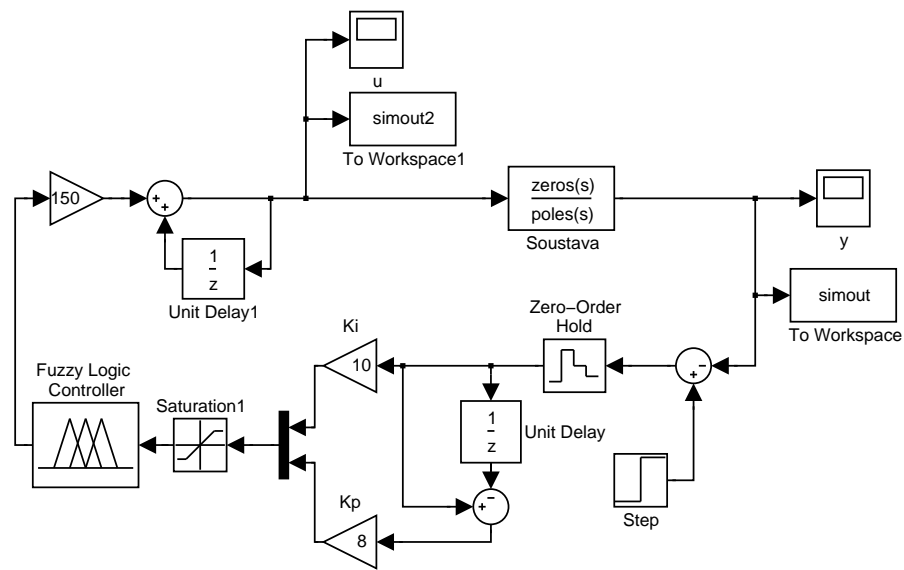
Obrázek 9.1: Množina příslušnosti vstupu fuzzy regulátoru



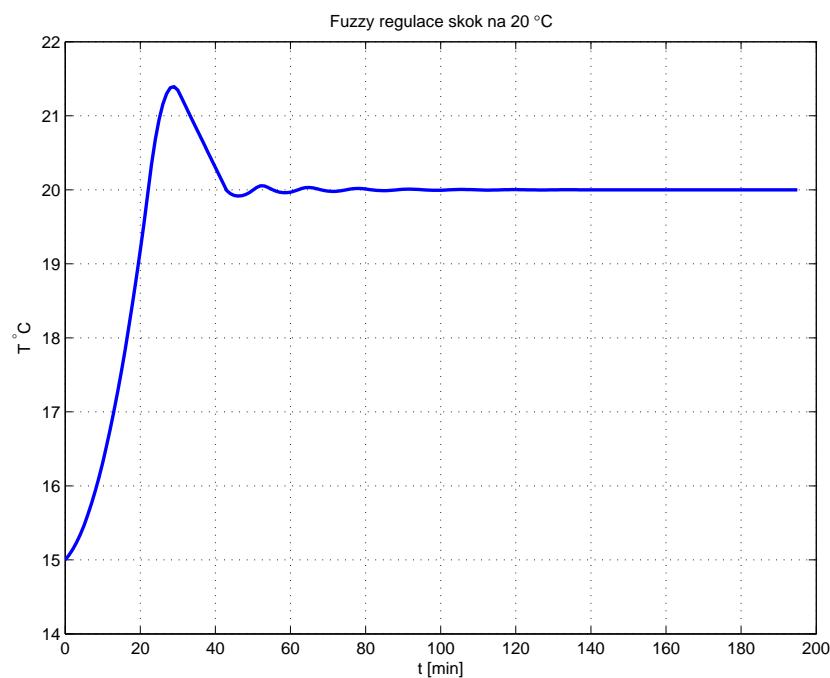
Obrázek 9.2: Množina příslušnosti výstupu fuzzy regulátoru

Báze pravidel fuzzy regulátoru je

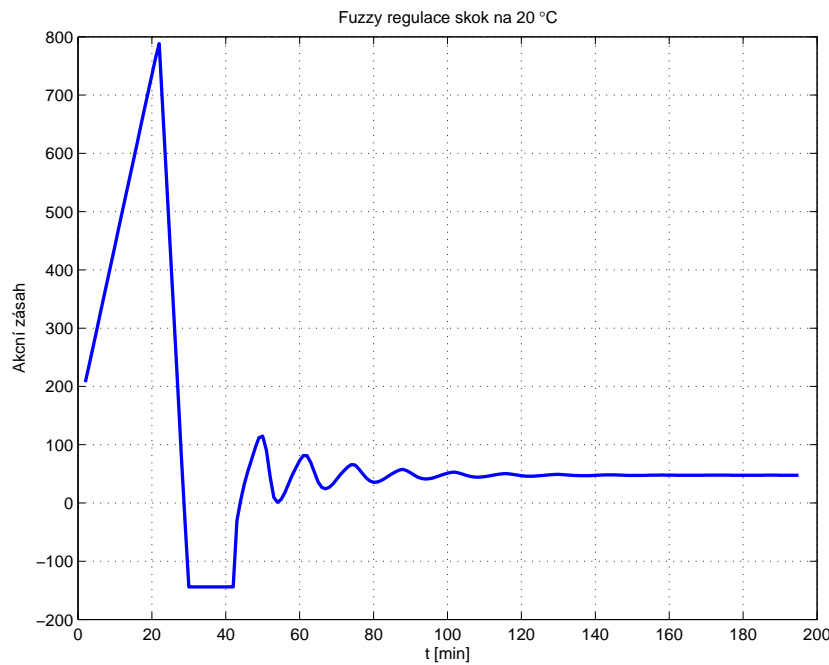
$$\begin{aligned}
 & \text{if } in1.K \text{ AND } in2.Z \text{ THEN } out.N, \\
 & \text{if } in1.K \text{ AND } in2.K \text{ THEN } out.K, \\
 & \text{if } in1.K \text{ AND } in2.Z \text{ THEN } out.K, \\
 & \text{if } in1.Z \text{ AND } in2.Z \text{ THEN } out.Z.
 \end{aligned} \tag{9.1}$$



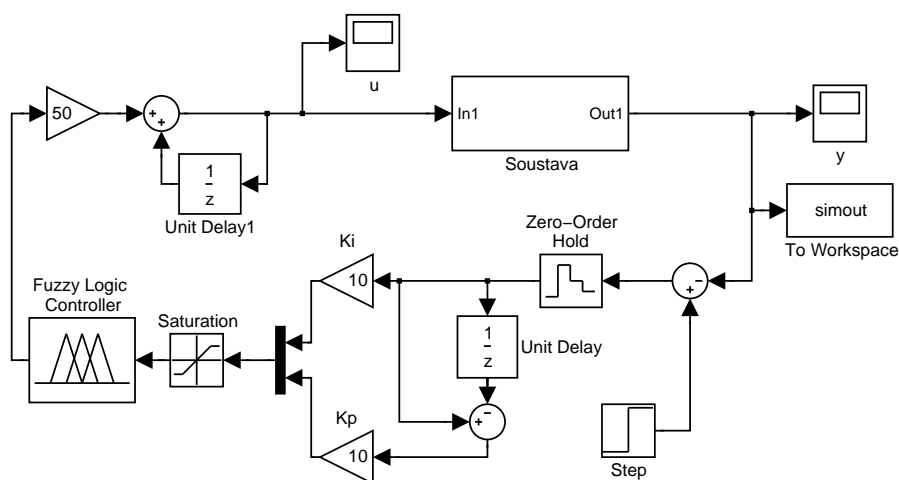
Obrázek 9.3: Fuzzy regulace na zjednodušeném modelu



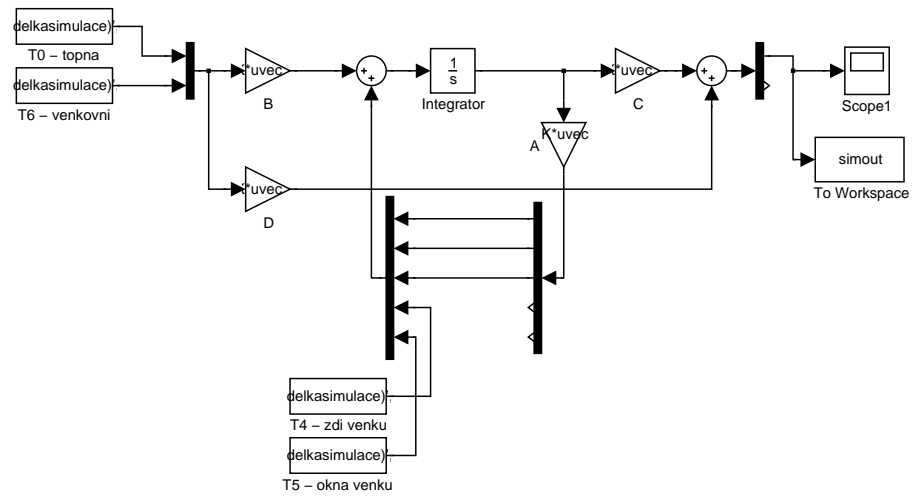
Obrázek 9.4: Reakce na skok žádané hodnoty



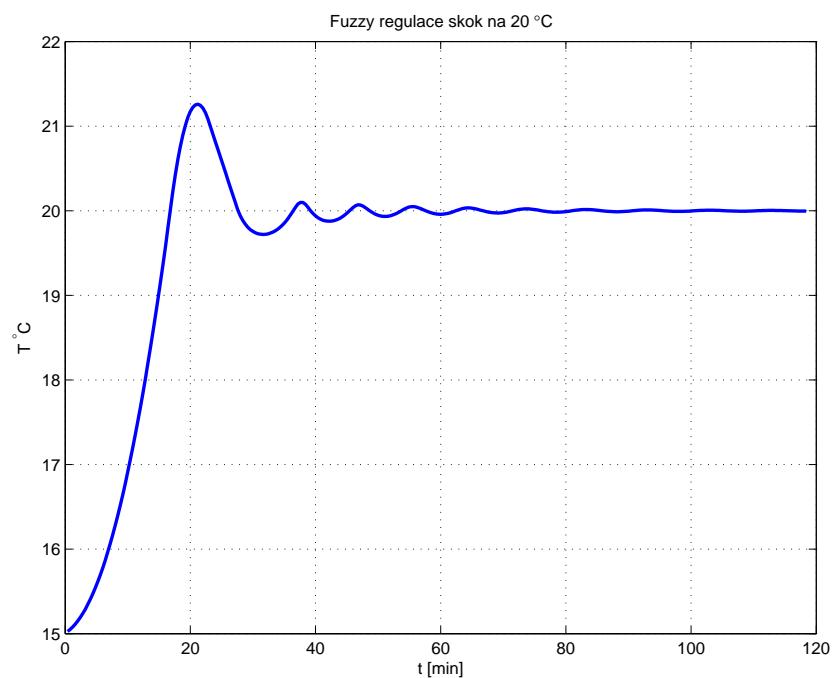
Obrázek 9.5: Akční zásah fuzzy regulátoru



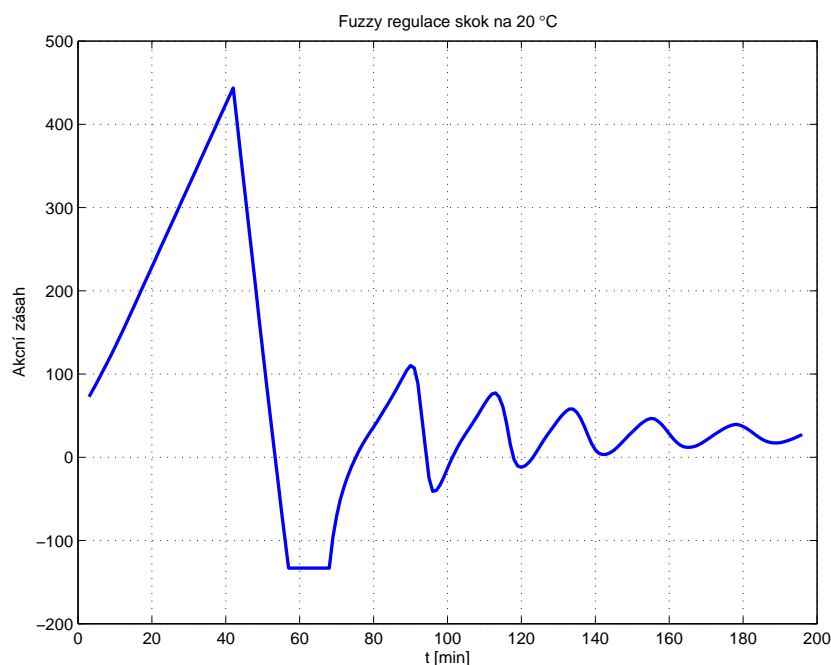
Obrázek 9.6: Fuzzy regulace na původním modelu



Obrázek 9.7: Model respektující venkovní vlivy

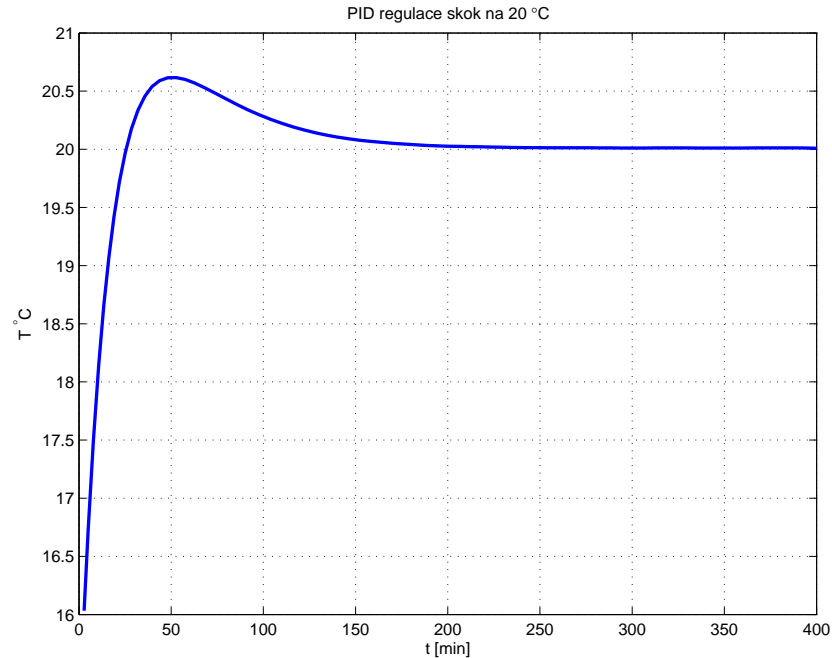


Obrázek 9.8: Reakce na skok žádané hodnoty

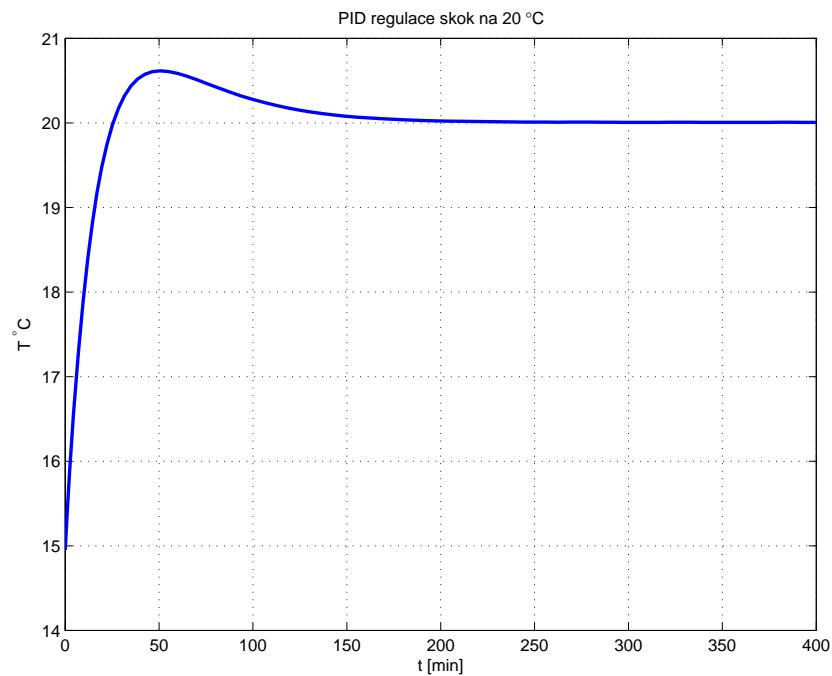


Obrázek 9.9: Akční zásah fuzzy regulátoru

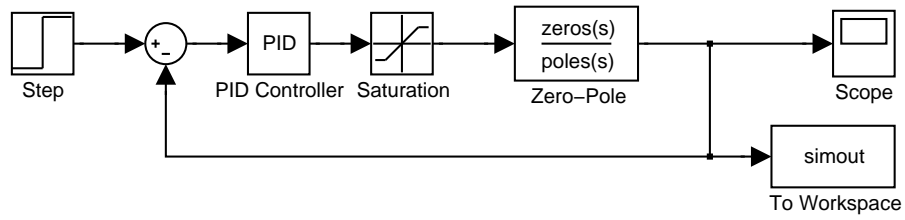
9.2 PID regulátor



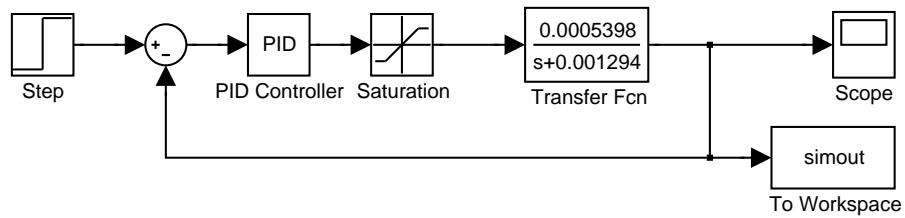
Obrázek 9.10: Reakce na skok žádané hodnoty - původní model



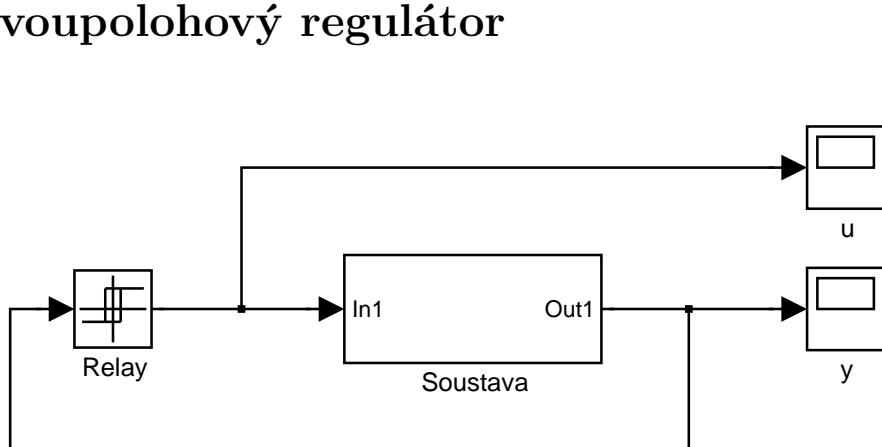
Obrázek 9.11: Reakce na skok žádané hodnoty - zjednodušený model



Obrázek 9.12: Původní model s PID regulátorem



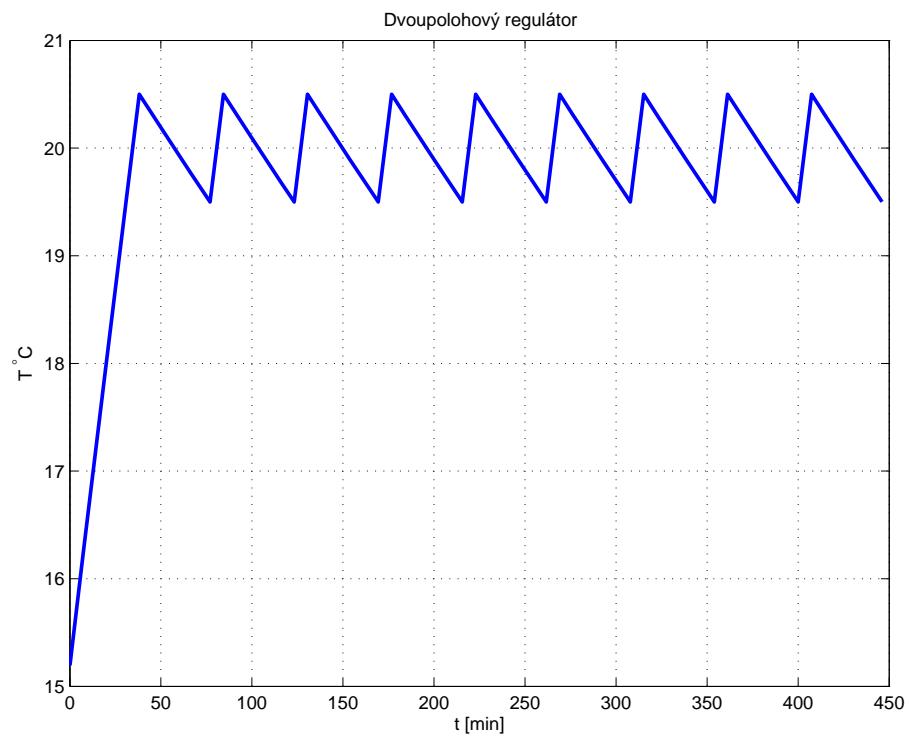
Obrázek 9.13: Zjednodušený model s PID regulátorem



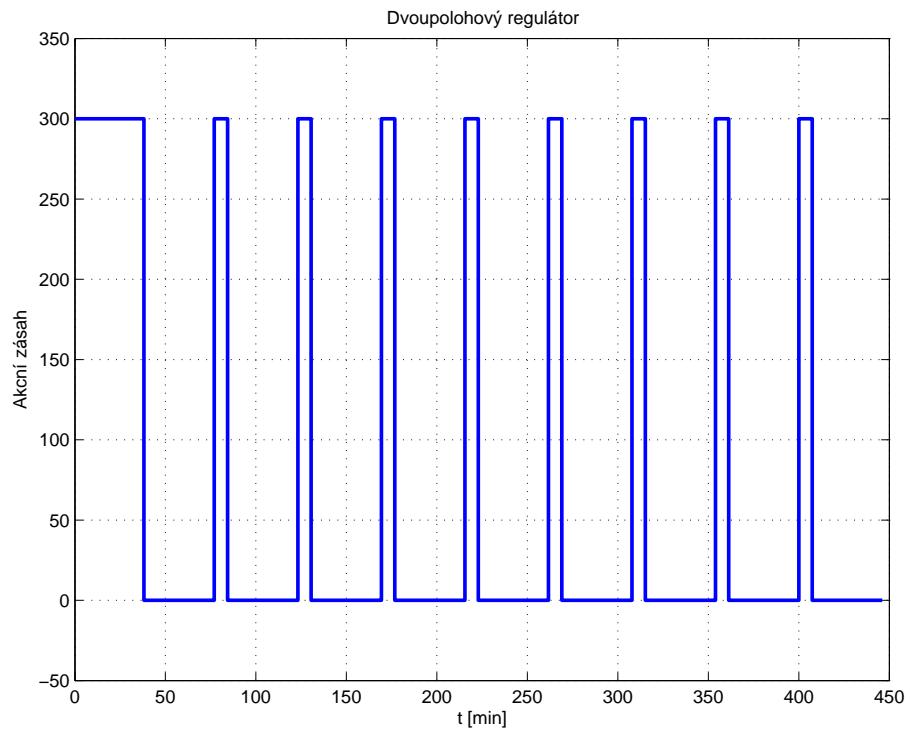
Obrázek 9.14: dvoupolohový regulátor - původní systém

9.3. DVOUPOLOHOVÝ REGULÁTOR

65



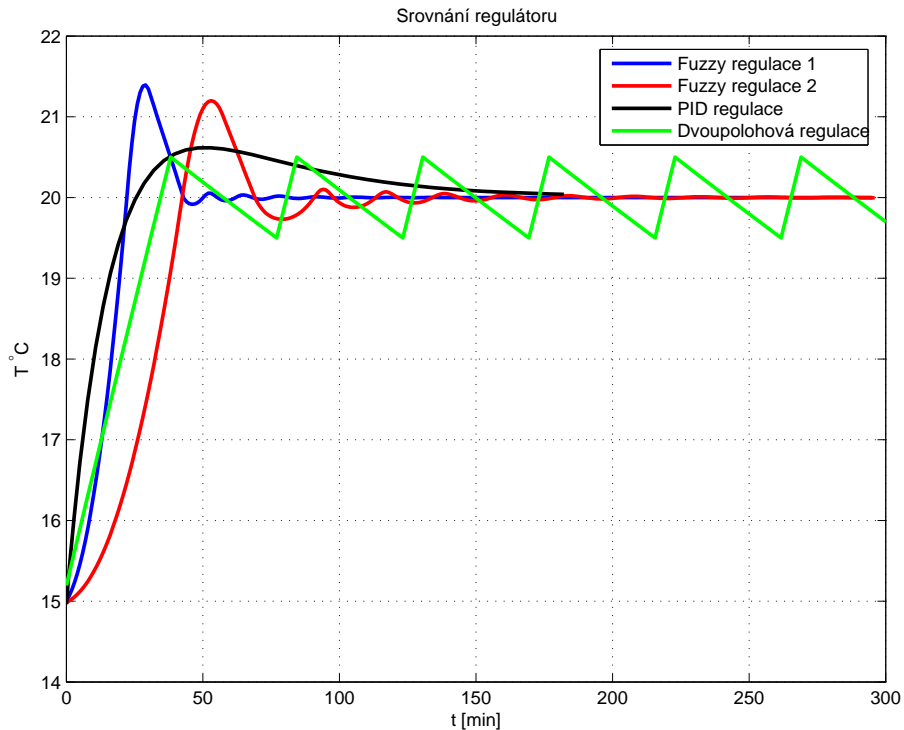
Obrázek 9.15: Dvoupolohový regulátor - skok žádané hodnoty



Obrázek 9.16: Dvoupolohový regulátor - akční zásah

9.4 Shrnutí

V této kapitole byly navrženy regulátory **PID**, **fuzzy** a **dvoupolohový regulátor**, které byly testovány na zjednodušeném modelu určeném pro návrh i na původním modelu respektující vlivy okolí. Na obrázku 9.17 je vidět srovnání regulátorů pro skok žádané hodnoty z 15°C na 20°C . V obrázku je pouze jeden graf pro **PID** regulátor, a to z důvodu obdobných výsledků regulace na obou modelech.



Obrázek 9.17: Srovnání regulátorů

Kapitola 10

Závěr

Úkolem této práce bylo analyzovat vlastnosti základních typů budov z hlediska vytápění a následně pak z hlediska regulace, dále vytvořit postupně několik modelů vytápěného prostoru a navrhnut regulátory.

V úvodu práce se snažím čtenáře seznámit se základy termodynamiky, tepelné prospustnosti a s tepelnou kapacitou látek. Další část práce seznamuje čtenáře s programovatelnými PLC automaty firmy Teco Tecomat, Tecoreg. Je zde stručně zmíněna struktura a princip těchto automatů. Součástí přiloženého CD je i koncept programu regulátoru pro PLC napsaný pro systém MOSAIC. V další části se práce zabývá vytvořením modelu místnosti. Prvním modelem je jednoduchý matematický model, který umožňuje přibližný odhad tepelných ztrát místnosti na základě tepelné prospustnosti do venkovního prostoru a do okolních místností. Tento výpočet je realizovatelný i bez použití složitých matematických nástrojů jako MATLAB-Simulink. Všechny ostatní modely jsou realizovány s využitím programu MATLAB ve formě spuštěných skriptů pro snadné změny, přenositelnost modelů na jiné budovy a jejich parametrizaci. Dalším modelem je jednoduchý stavový model druhého řádu. Tento model nerespektuje vliv vnitřního zdiva. Motivací pro vznik tohoto modelu byla myšlenka na odhadování celkových tepelných ztrát budovy. Prostup mezi místnostmi tedy v tomto případě není považován za ztráty, protože se jedná o energii v celé budově. Tento model tedy respektuje pouze ztráty budovy vnějším zdivem a okny. Další model vznikl rozšířením předcházejícího modelu o vliv vnitřního zdiva, tedy rozšířením na model třetího řádu. Tento model, jak je patrné z obrázků, dosahoval dobrých výsledků na testovacích datech. Třetí model má za úkol respektovat vnější vlivy jako je sluneční záření, vliv větru a deště. Tyto vlivy, jak již bylo uvedeno, nejsou měřeny přímo, jsou reprezentovány dalšími stavy v modelu.

Jelikož po vyčíslení dosahovaly matice systému velmi malých hodnot, tím by při výpočtu v MATLABu vznikaly chyby, rozhodl jsem se pro návrhy regulátorů použít zjednodušené modely. Navržené regulátory byly však testovány na zjednodušených modelech i na modelech původních. Oba návrhy dosahovaly velmi podobých výsledků. Pro systém respektující vnější vlivy byly navrženy regulátory typu **PID, fuzzy a dvoupolohový regulátor**. Srovnání regulátorů vidíme na obrázku 9.17. Regulátory fuzzy dosahují dobrých výsledků. Na grafech akčních zásahů je vidět, že regulujeme systém klimatizace (je možný záporný akční zásah). Jelikož veškeré měření bylo prováděno na budově bez klimatizace, je potřeba zmínit, že systém návrhu fuzzy regulátoru s možností pouze kladného akčního

návrhu je podobný, rozdíl bude v množině příslušnosti výstupu fuzzy regulátoru.

Vstupem modelu pro simulace je venkovní teplota a teplota topné vody. Energie dodaná soustavě (v našem případě místnosti) je dána součinem průtoku a rozdílu teplot topné vody vstupující do topného tělesa a teploty topné vody vystupující z topného tělesa. V našem systému ale nebylo možno měřit průtok topné vody, v důsledku toho vznikají nepřesnosti v modelu.

Vhodným navázáním na tuto práci by proto bylo zahrnout do modelu průtoky topné vody jednotlivými topnými tělesy, aby bylo možné eleminovat nepřesnosti v modelech. Další významný faktor je sluneční záření. Poslední model sice počítá se slunečním zářením, ale pouze tím zářením, které dopadá na venkovní zdivo. V létě značná část slunečního záření může dopadat přímo do místnosti. Pro upřesnění modelu by bylo vhodné uvažovat ohřev předmětů v místnosti od slunečního záření vnikajícího do místnosti nebo ohřev vzduchu v místnosti při spuštěných žaluzích.

Literatura

- [1] ĎAD’O, S.; KREIDL, M.: *Senzory a měřící obvody*, Vydavatelství ČVUT, Praha 1996.
- [2] FENCLOVÁ, M.; PECH, Z.; SUKOVÁ, M.: *Teorie automatického řízení*, Vydavatelství ČVUT, Praha 1998.
- [3] FEYNMAN P., R.; LEIGHTON B., R.; SANDS M.: *Feynmanovy přednášky z fyziky I*. Havlíčkův Brod: FRAGMENT, 2000.
- [4] HORÁČEK, P.: *Systémy a modely*, Vydavatelství ČVUT, Praha 2001.
- [5] JELÍNEK, V.; KABELE, K.: *Technická zařízení budov 20*, Vydavatelství ČVUT, Praha 2001.
- [6] JOHN, J.: *Systémy a řízení*, Vydavatelství ČVUT, Praha 1999.
- [7] MODRLÁK, O.: *Teorie automatického řízení II.*
[⟨http://www.fm.tul.cz/~krtsub/fm/tr2/tar2_fuz.pdf⟩](http://www.fm.tul.cz/~krtsub/fm/tr2/tar2_fuz.pdf), 2004.
- [8] PEKÁREK, S.; MURLA, M.: *Fyzika I Semináře*, Vydavatelství ČVUT, Praha 1997.
- [9] SEDLÁČEK, M.; ŠMÍD, R.: *Matlab v měření*, Vydavatelství ČVUT, Praha 2004.
- [10] ŠTECHA, J.; HAVLENA, V.: *Teorie dynamických systémů*, Vydavatelství ČVUT, Praha 2002.
- [11] *Teco CD Info, 9/2003* [CD-ROM]. Kolín: 2003.
- [12] *Teco a. s. – řídicí systémy pro průmysl a budovy* [online]. 2004.
[⟨http://www.tecomat.cz⟩](http://www.tecomat.cz)

Seznam obrázků

3.1	Prostupnost stěnou	10
4.1	Znázornění termočlánku a jeho charakteristika	13
4.2	Charakteristika senzoru PT100	17
4.3	Charakteristika senzoru PT100	17
4.4	Třívodičové zapojení senzoru PT100	18
4.5	Běžné principy snímání otáček	20
4.6	Voltampérová charakteristika fotodiody	21
4.7	Voltampérová charakteristika fototranzistoru	22
4.8	Venkovní teploty ve stínu a na slunci	22
5.1	Ohřev TUV deskovým výměníkem	24
5.2	Přechodová a frekvenční charakteristika PI regulátoru	25
5.3	Přechodová a frekvenční charakteristika PID regulátoru	26
5.4	Přechodová a frekvenční charakteristika PD regulátoru	26
5.5	Charakteristika dvoupolohového regulátoru s hysterezí	27
5.6	Ekvitemní křivka	28
5.7	Změna komfortu posunem ekvitemní křivky	28
6.1	Programový cyklus PLC	30
7.1	Integrační článek	34
7.2	Průběhy na integračním článcu	34
7.3	Ideální průběh teploty v místnosti	34
7.4	Reálný průběh teploty v místnosti	35
7.5	Týdení měření jedné místnosti	36
7.6	Den měření jedné místnosti (výřez z obr. 7.5)	36
7.7	Přechodová charakteristika místnosti 1	37
7.8	Přechodová charakteristika místnosti 2	37
7.9	Venkovní teplota	38
7.10	Přechodové charakteristiky sousedících místností	39
7.11	Měření na okně a zdi	40
7.12	Příklad měření na okně	40
8.1	Srovnání výpočtu se skutečným průběhem	43
8.2	Odchylka vypočteného průběhu	43

8.3	Detail průběhu z obr.8.1	44
8.4	Elektrické schéma tepelných vlastností modelované místonosti	45
8.5	Blokové schéma stavového modelu	47
8.6	Schéma rozšířeného modelu	48
8.7	Srovnání modelů	49
8.8	Srovnání modelů	50
8.9	Schéma rozšířeného modelu 2	50
8.10	Schéma rozšířeného modelu 2	52
8.11	Předpokládaný průběh teploty v místonosti	52
8.12	Teplota topné vody v oběhu	53
8.13	Průběh teploty v místonosti při zásahu podle obr. 8.14	53
8.14	Topná voda - zavřený ventil	54
8.15	Průběh teploty v místonosti při zásahu podle obr. 8.16	54
8.16	Topná voda - zavřený ventil	55
8.17	Venkovní teplota	55
8.18	Schéma rozšířeného modelu 3	56
9.1	Množina příslušnosti vstupu fuzzy regulátoru	57
9.2	Množina příslušnosti výstupu fuzzy regulátoru	58
9.3	Fuzzy regulace na zjednodušeném modelu	59
9.4	Reakce na skok žádané hodnoty	59
9.5	Akční zásah fuzzy regulátoru	60
9.6	Fuzzy regulace na původním modelu	60
9.7	Model respektující venkovní vlivy	61
9.8	Reakce na skok žádané hodnoty	61
9.9	Akční zásah fuzzy regulátoru	62
9.10	Reakce na skok žádané hodnoty - původní model	63
9.11	Reakce na skok žádané hodnoty - zjednodušený model	63
9.12	Původní model s PID regulátorem	64
9.13	Zjednodušený model s PID regulátorem	64
9.14	Dvoupolohový regulátor - původní systém	64
9.15	Dvoupolohový regulátor - skok žádané hodnoty	65
9.16	Dvoupolohový regulátor - akční zásah	65
9.17	Srovnání regulátorů	66

Seznam tabulek

4.1	Seebeckovy koeficienty udány vzhledem k olovu	13
4.2	Rozsahy nejběžnějších termočlánků	13
4.3	Převodní tabulka senzoru PT100	18
6.1	Struktura zásobníkové paměti s rozsahy	30

Dodatek A

Obsah přiloženého CD

Matab – Adresář Matlab obsahuje zdrojové kódy pro návrhy regulátorů a simulaci, simulinková schémata s dokumentací, kódy pomocných a vykreslovacích funkcí, několik datových struktur obsahujících naměřené hodnoty a konstanty pro výpočet a snadou parametrizaci modelů. Vše v tomto adresáři je vytvořené a spustitelné v systému MATLAB 7.0.4.352 (R14) Service Pack 2.

Obrazky-prostup – Tento adresář obsahuje grafy některých naměřených hodnot týkajících se prostupů zdivem a okny. Grafy jsou ve formátu PDF.

Program – V tomto adresáři se nachází koncept programu regulátoru pro systém Teco.

Přiložené CD dále obsahuje tuto práci ve formátu PDF.